

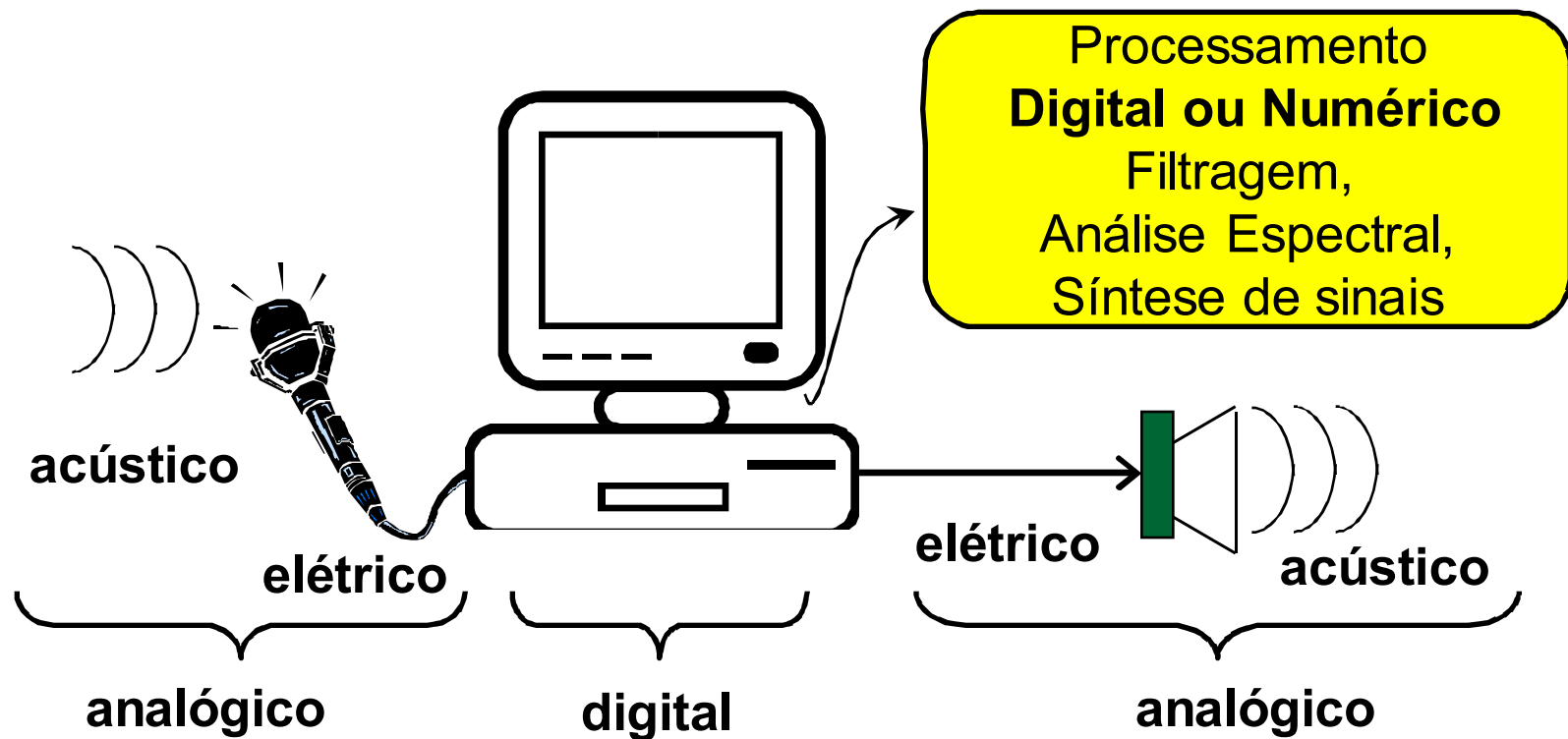
---

# Modulo 06

## Amostragem

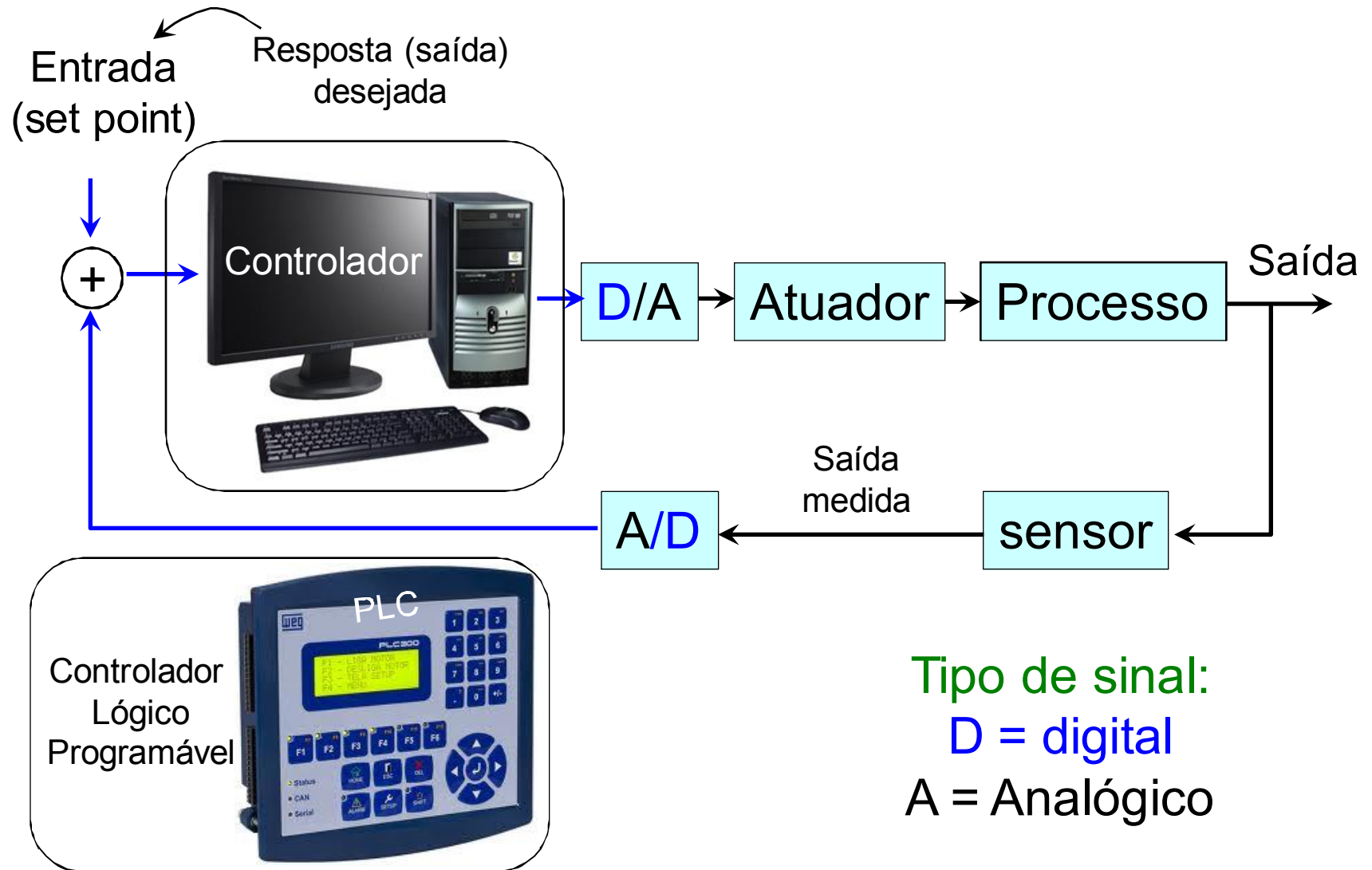
---

# Processamento Digital de Sinais analógicos

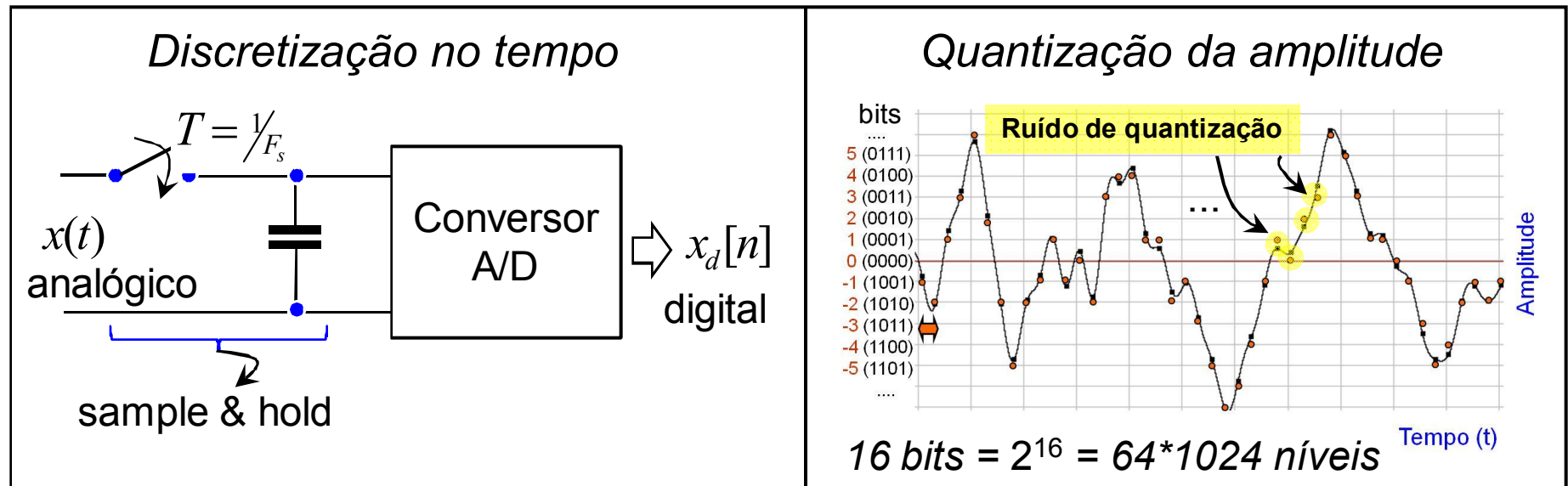
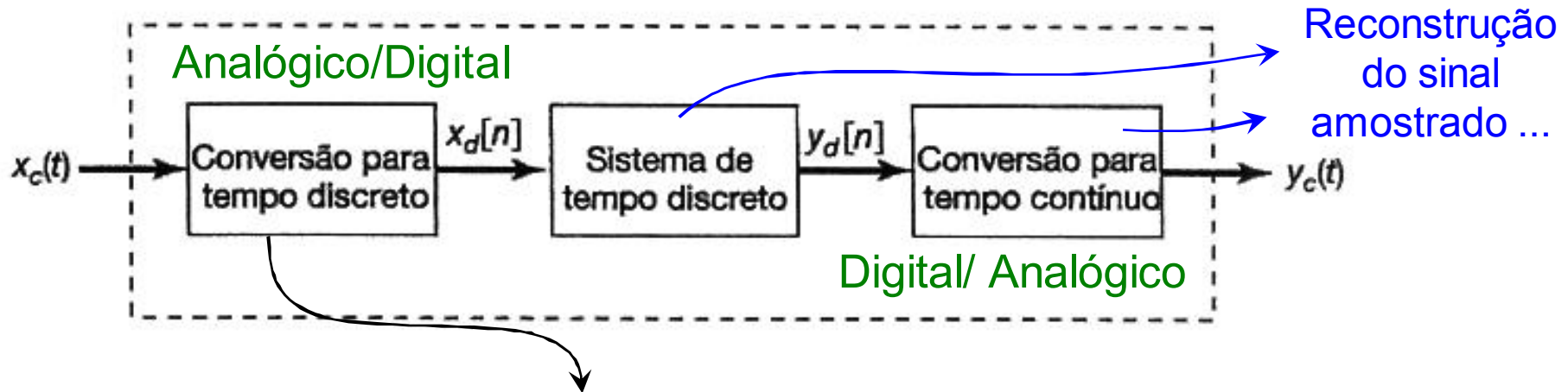


Exemplo comum do processamento de áudio em computadores

# Controle digital

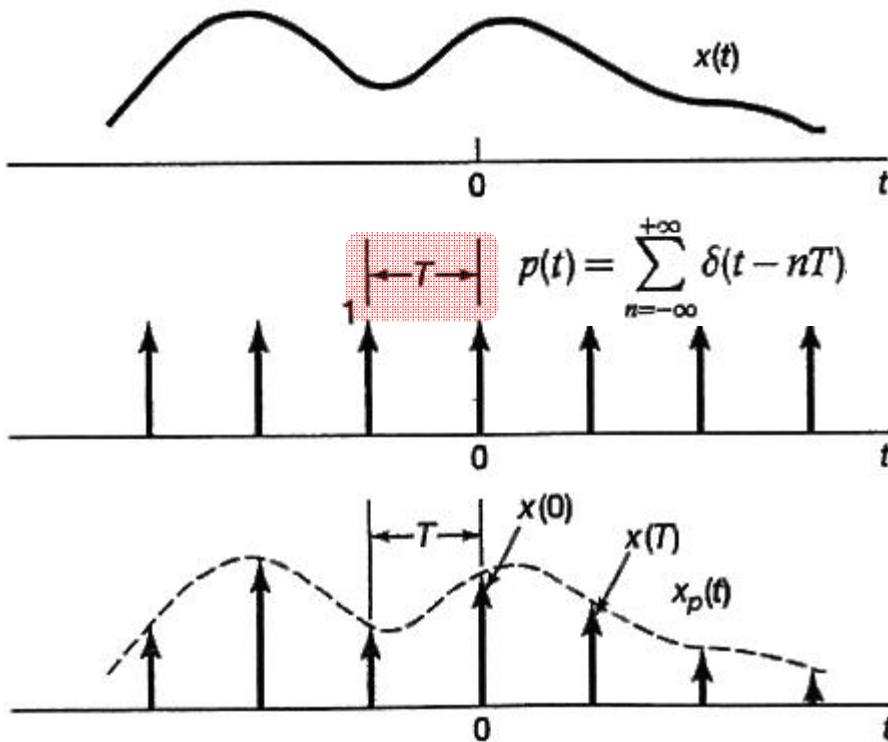
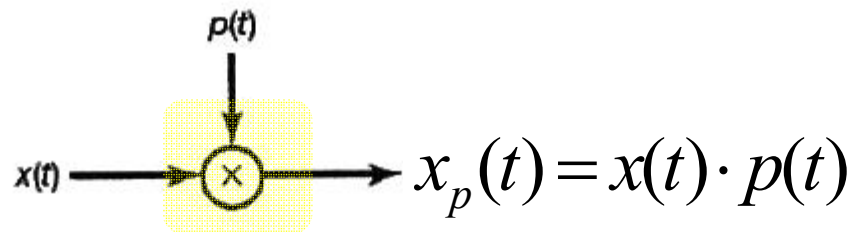


# Amostragem de sinais de tempo contínuo



Placas de som, interfaces USB, etc.

## 7.1.1 Amostragem de sinais de tempo contínuo



contínuo

discreto

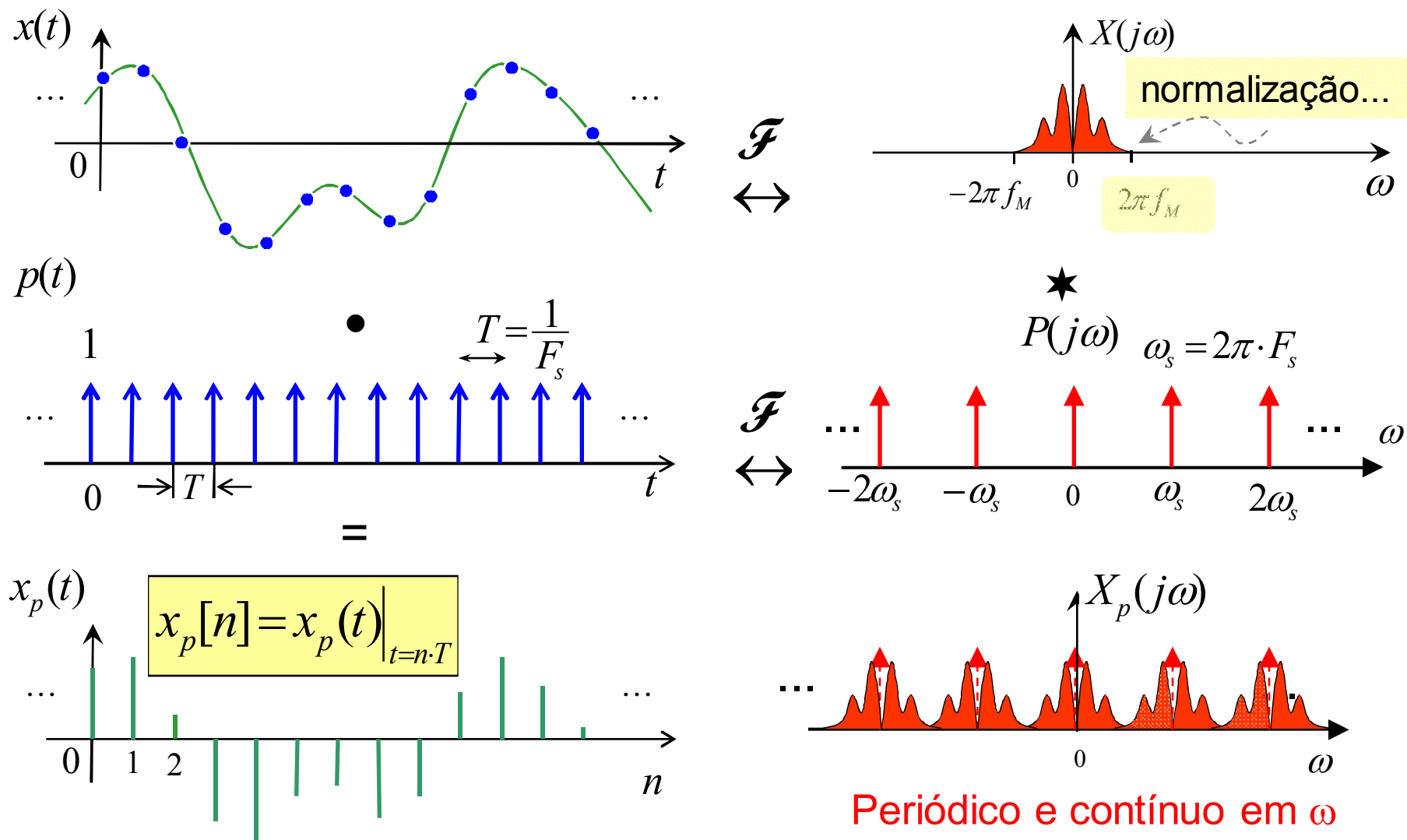
$$x(t) \longrightarrow \text{[Sampling Block]} \longrightarrow x[n]$$

$$T = \frac{1}{F_s}$$

$T$  = Taxa de amostragem

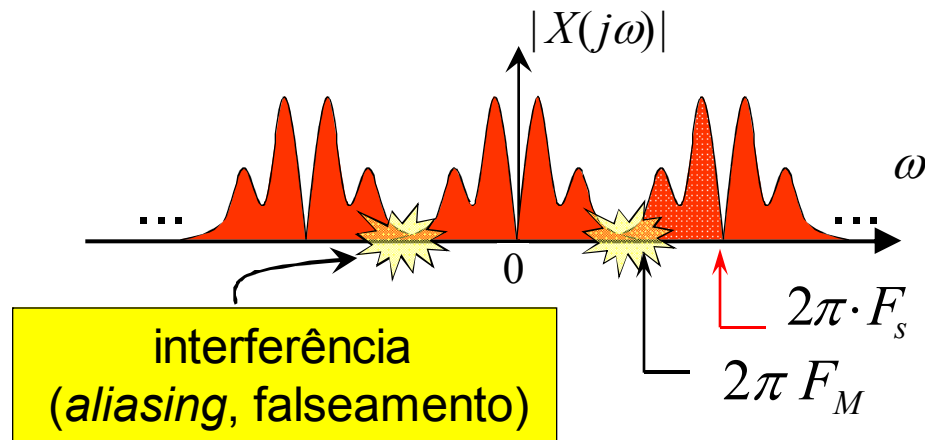
$$x[n] = x_p(t) \Big|_{t=n \cdot T}$$

# Amostragem por trem de impulsos



$X(e^{j\omega})$ : Réplicas do espectro original deslocadas em freqüência e superpostas

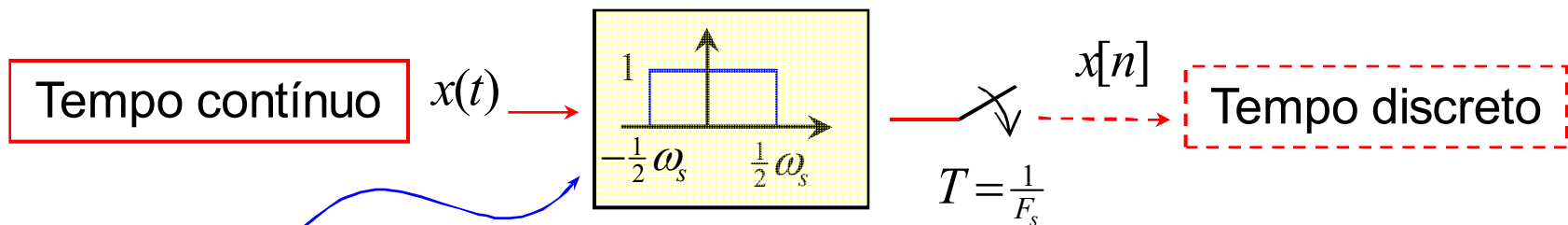
# Teorema da amostragem (Nyquist)



Espectro original  
preservado se  $F_s > 2F_M$

Teorema da amostragem

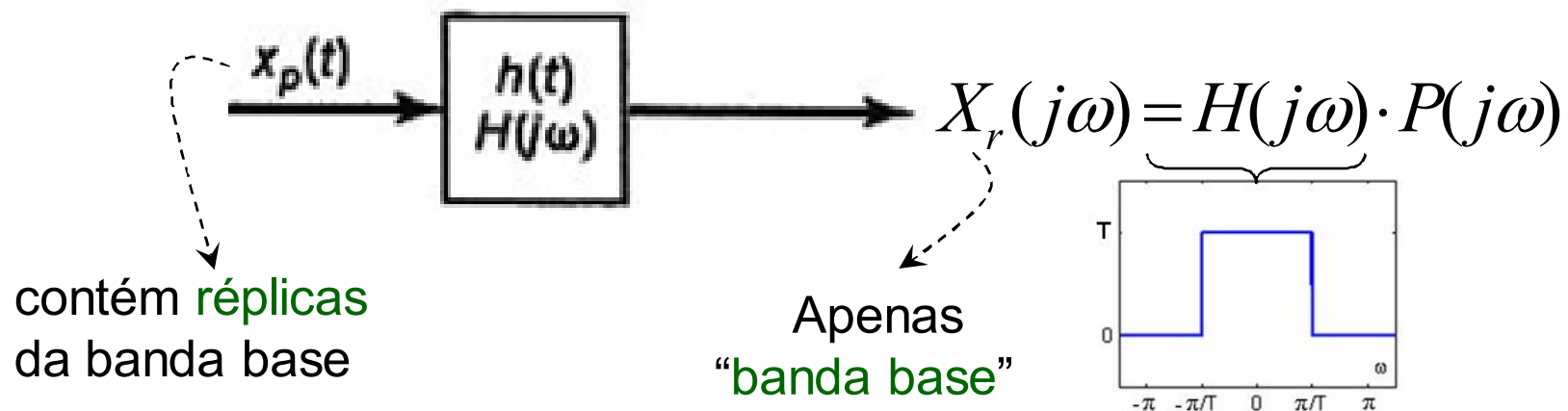
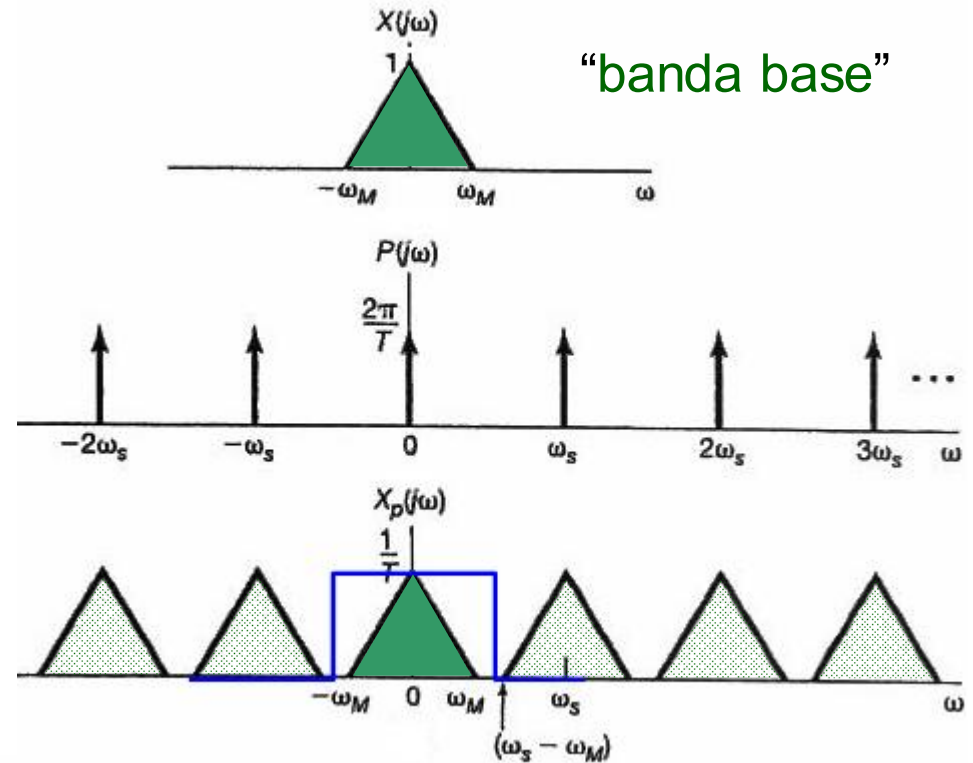
## Pré-filtragem (analógica) anti-aliasing



Filtro passa-baixas: garante que o sinal amostrado é limitado em faixa

# Recuperando $X(j\omega)$

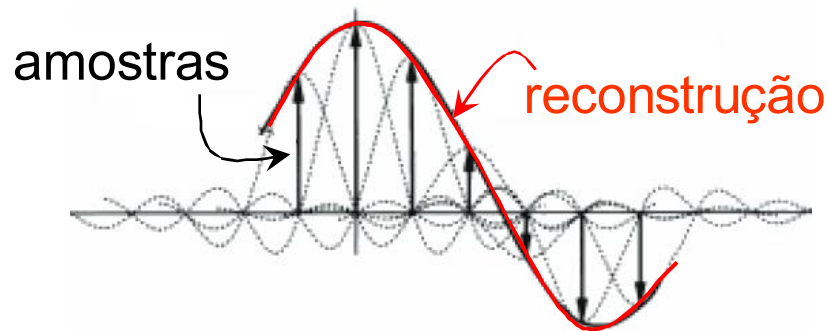
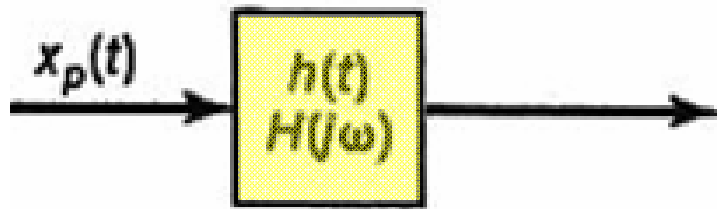
- $X(j\omega)$  amostrado por impulsos: →  
recuperação com  
filtragem passa-baixas  
ideal (interpolação)



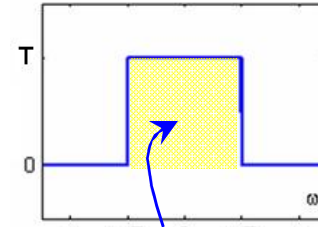
Idealmente,  $X_r(j\omega) = X(j\omega)$



# Recuperando $x(t)$

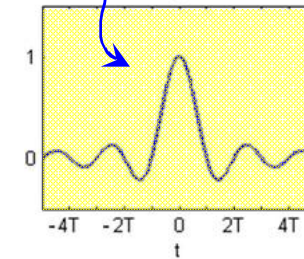


$$x_r(t) = \sum_{n=-\infty}^{+\infty} x(nT) \frac{\omega_c T}{\pi} \frac{\text{sen}(\omega_c(t - nT))}{\omega_c(t - nT)}$$



$$X_r(j\omega) = H(j\omega) \cdot X_p(j\omega)$$

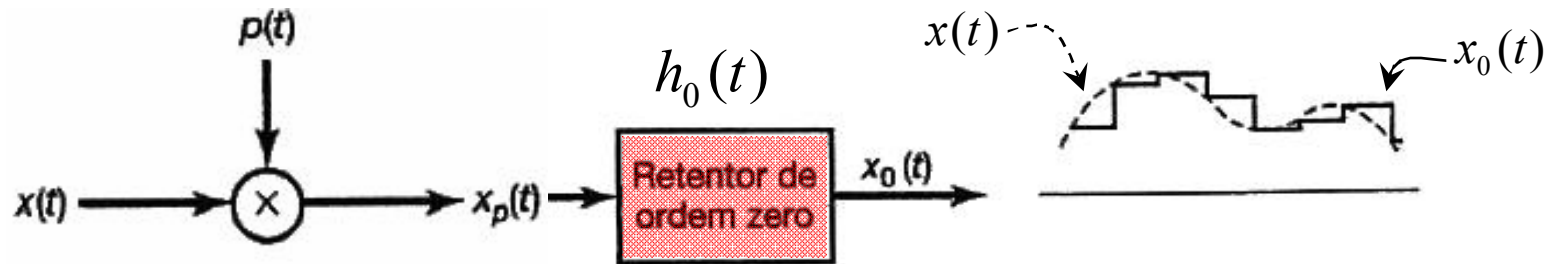
$$x_r(t) = h(t) * x_p(t)$$



$h(t)$ : não causal e com duração infinita (não realizável na prática)  
→ truncamento (aproximação)

## 7.1.2 Amostragem com pulsos retangulares

- Impulsos podem ser difíceis de ser aproximados/transmitidos
- Utilização do **segurador (retentor) de ordem zero** (reta horizontal)



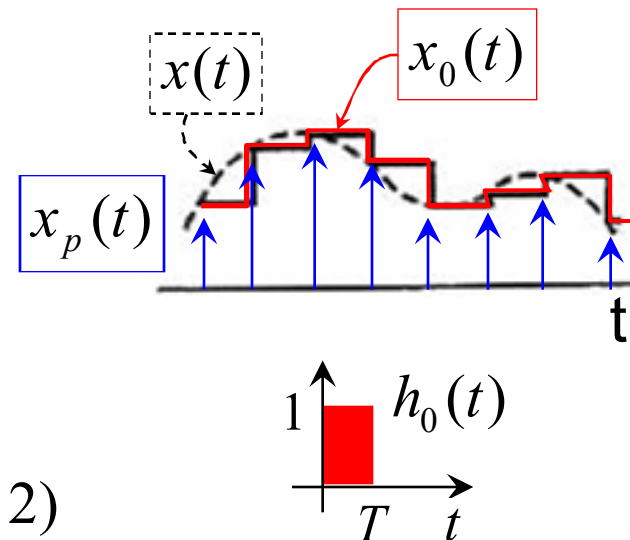
- Interpretação:

$$x_o(t) = x_p(t) * h_0(t)$$

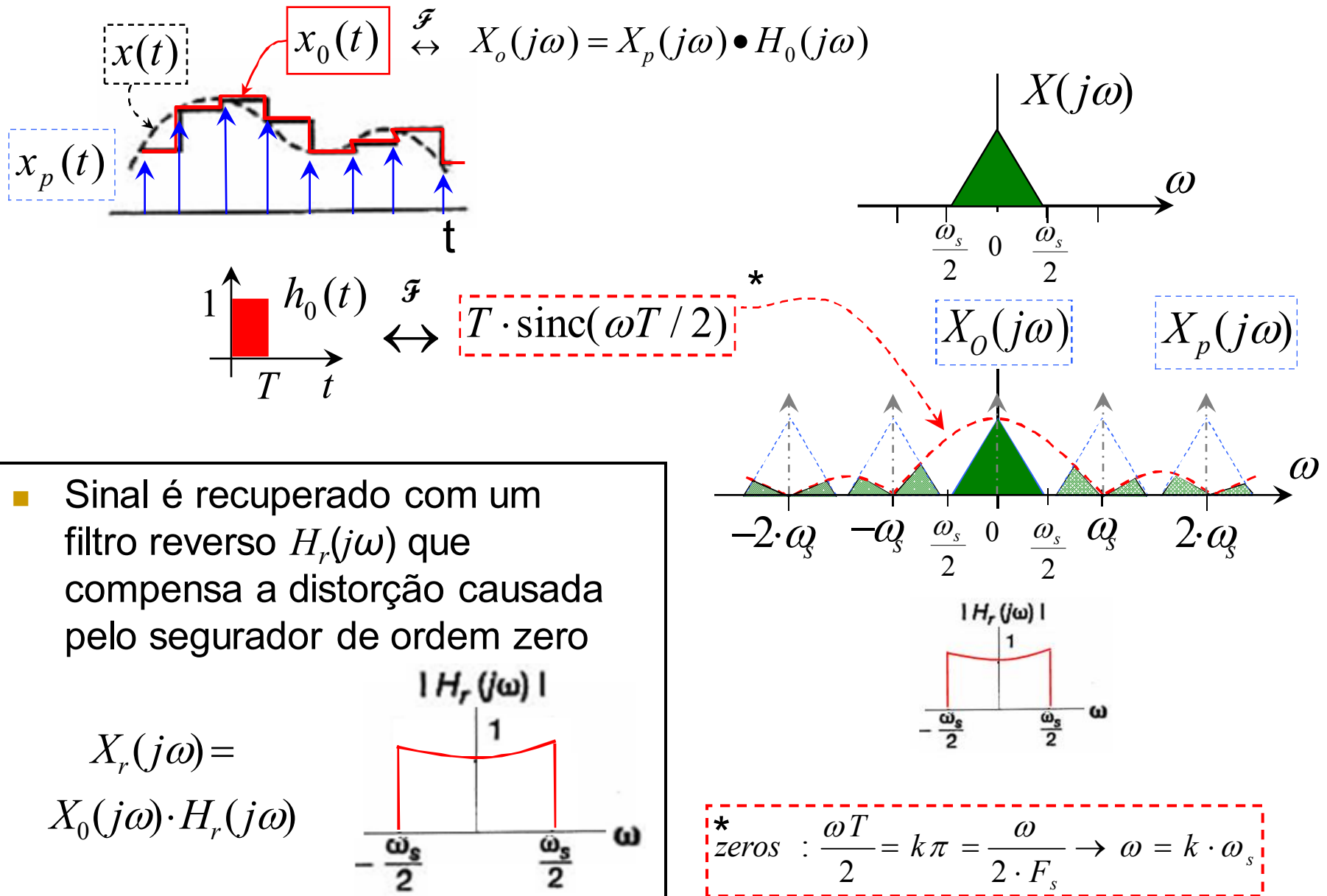
$\Updownarrow \mathcal{F}$

$$X_o(j\omega) = X_p(j\omega) \bullet H_0(j\omega)$$

$$|H_0(j\omega)| = T \cdot \text{sinc}(\omega T / 2)$$



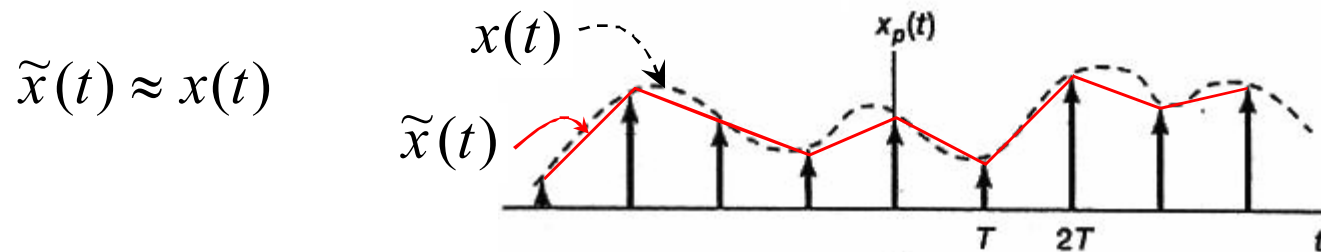
**Espectro amostrado** é multiplicado (**distorcido**) por  $H_0(j\omega)$ ...



Segurador de ordem zero: importante em sistemas de controle digital

# Interpolação linear

- Sinal  $x(t)$  aproximado por segmentos de reta:
- Precisão melhora com aumento da taxa de amostragem



- Compromissos: tempo de cálculo na interpolação x memória para armazenar amostras, etc.
- É possível fazer uma análise em frequência semelhante à feita para o segurador de ordem zero (Ver fig. 7.4 do livro-texto).

---

## 7.3 Efeito da subamostragem: *aliasing*

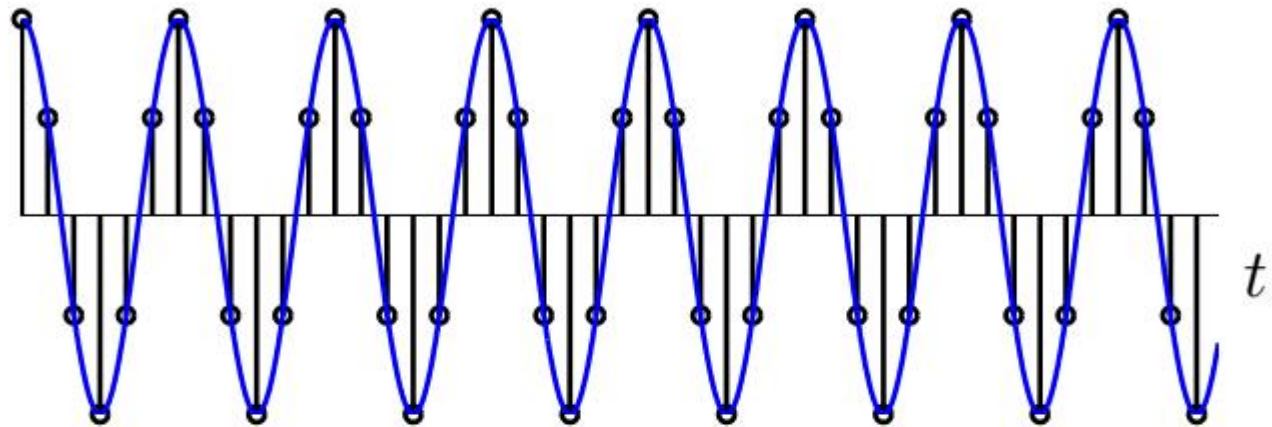
*Aliasing* = “falseamento” de frequência:  
sinal reconstruído com **frequência incorreta** se o  
sinal original é **subamostrado**

---

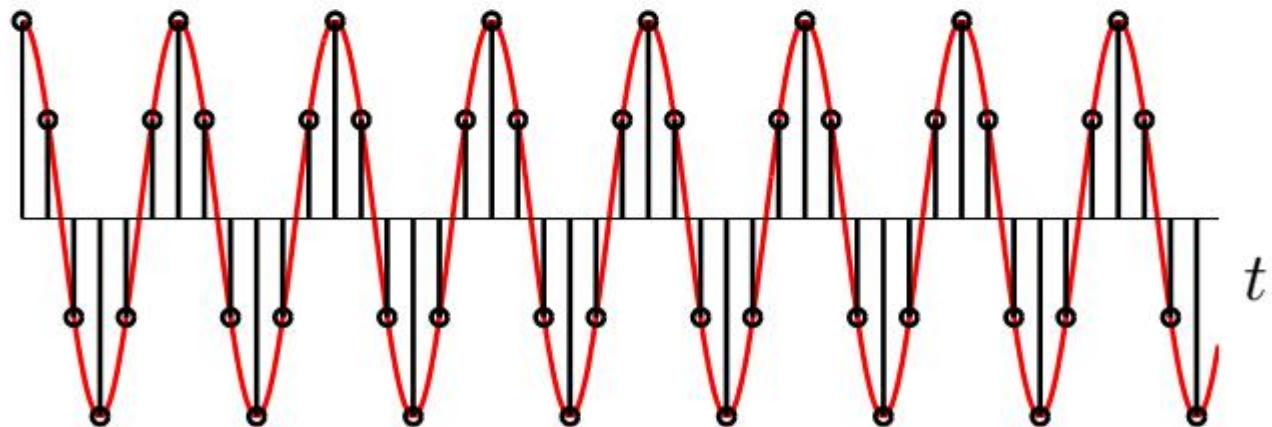
Teorema da Amostragem requer  $\omega_s > 2 \cdot \omega_0$



## Domínio do tempo: Aliasing

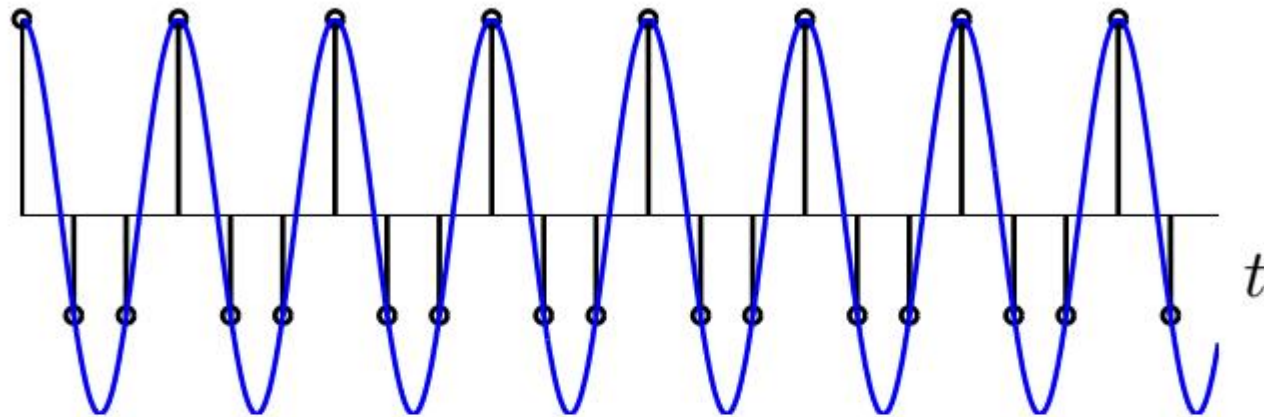


$$\omega_s = 6\omega_m$$

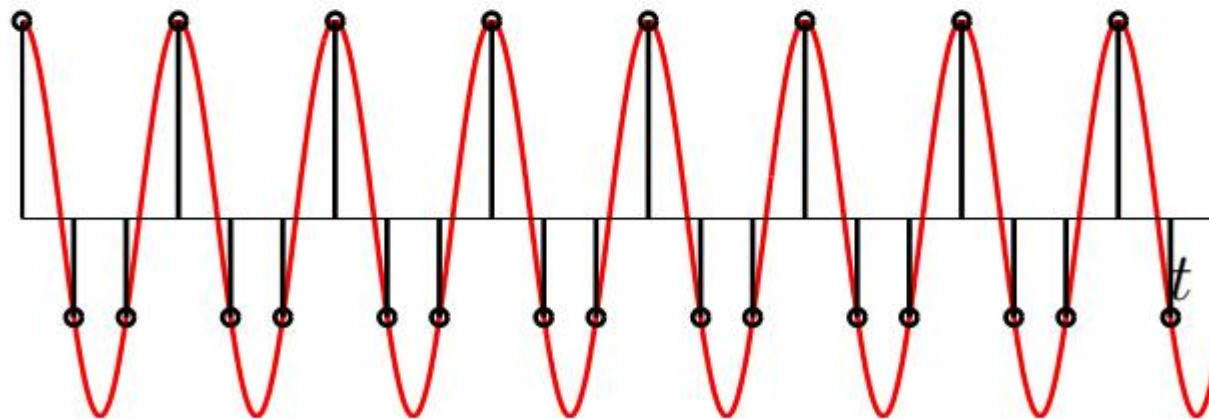




## *Domínio do tempo: Aliasing*



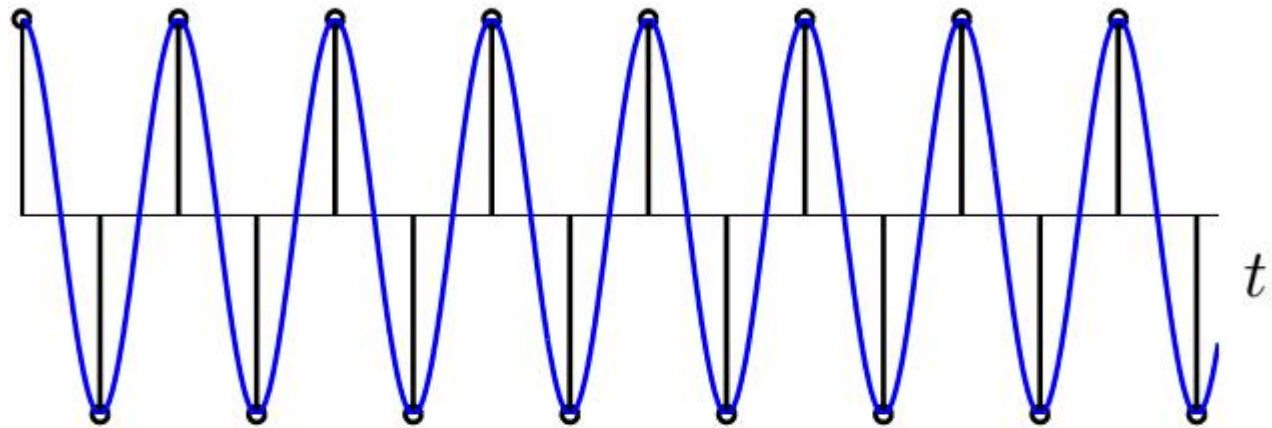
$$\omega_s = 3\omega_m$$



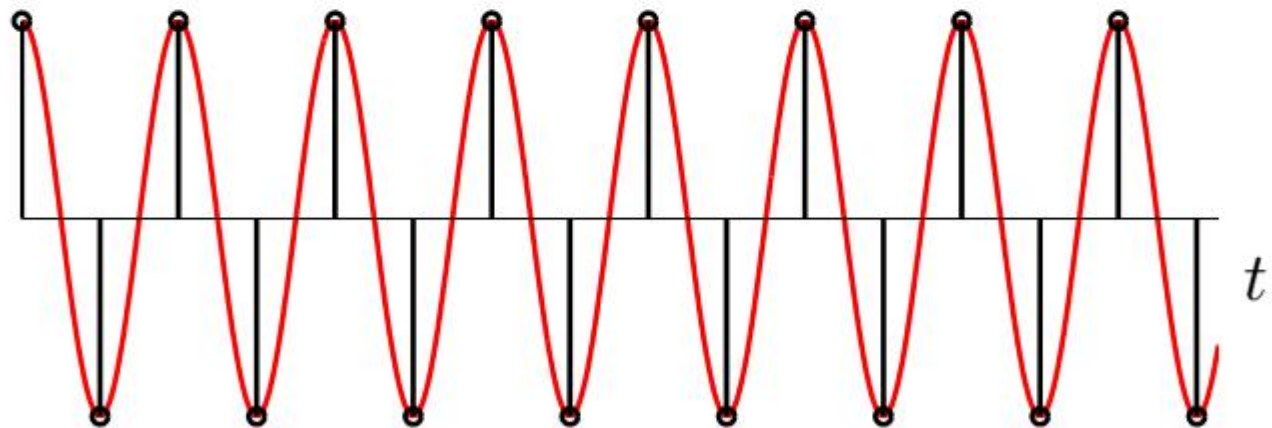




## *Domínio do tempo: Aliasing*



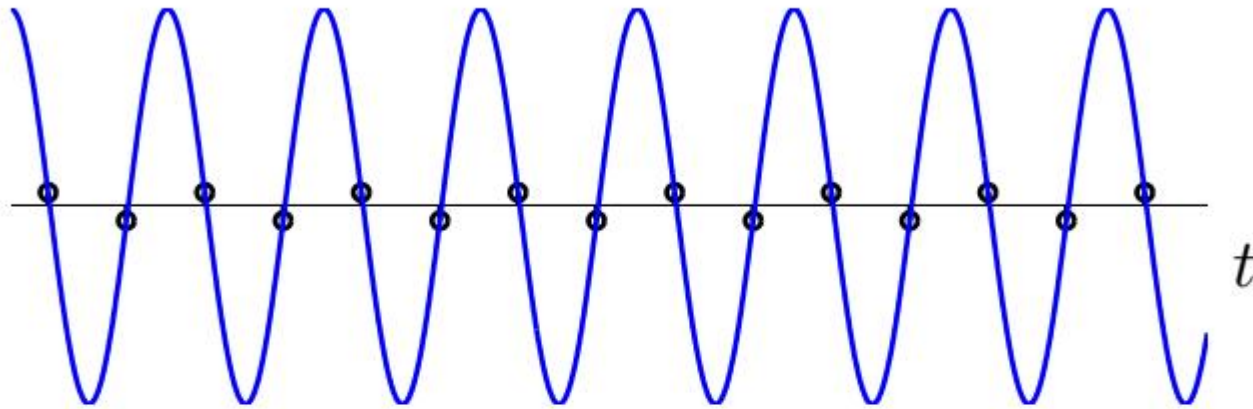
$$\omega_s = 2\omega_m$$







## *Domínio do tempo: Aliasing*

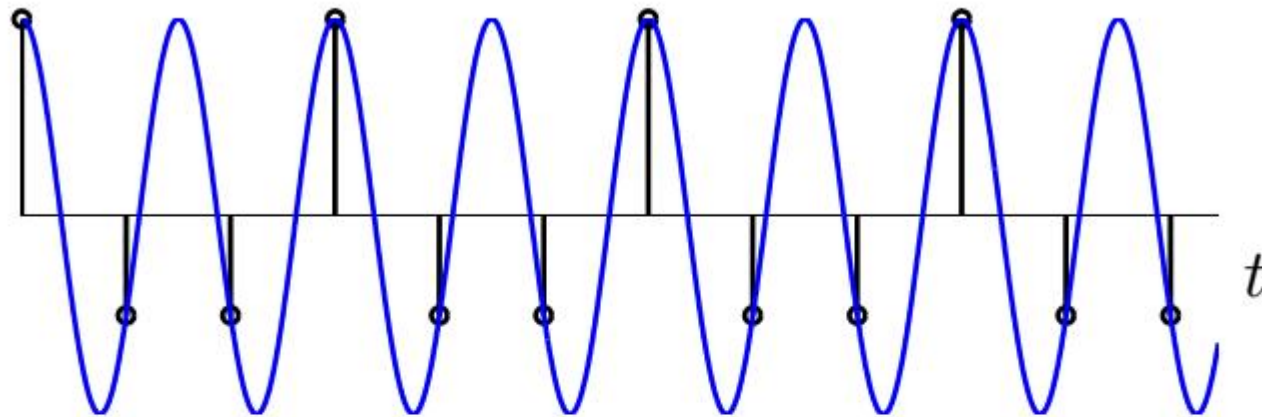


$$\omega_s = 2\omega_m$$

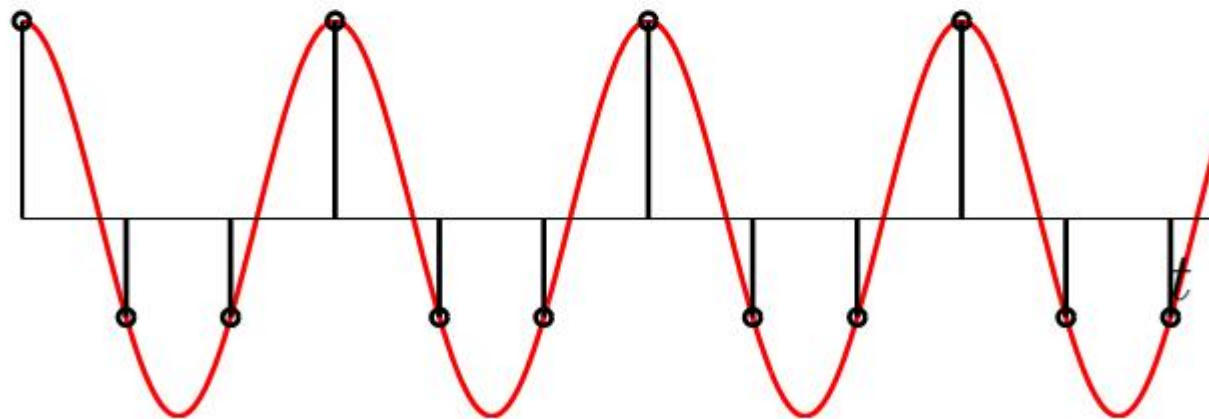




## *Domínio do tempo: Aliasing*

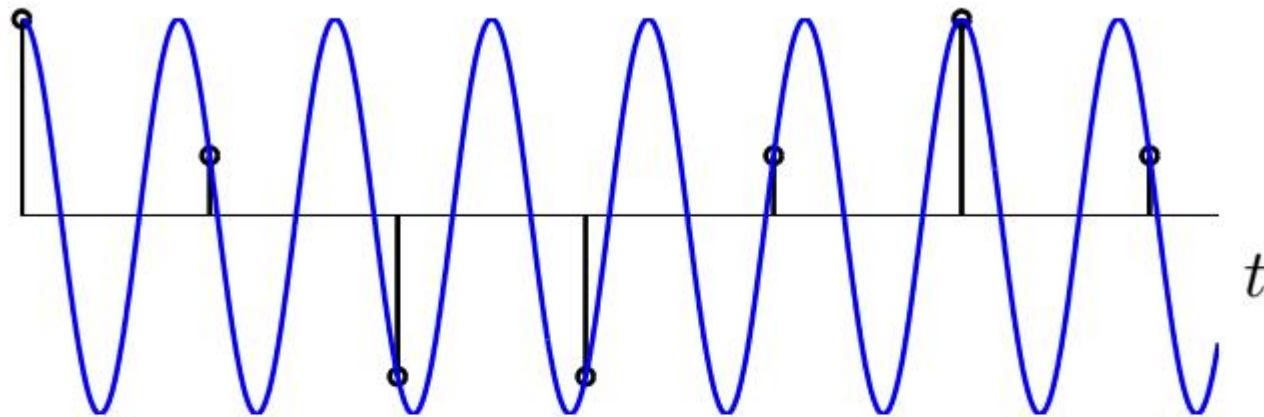


$$\omega_s = 6/4\omega_m$$

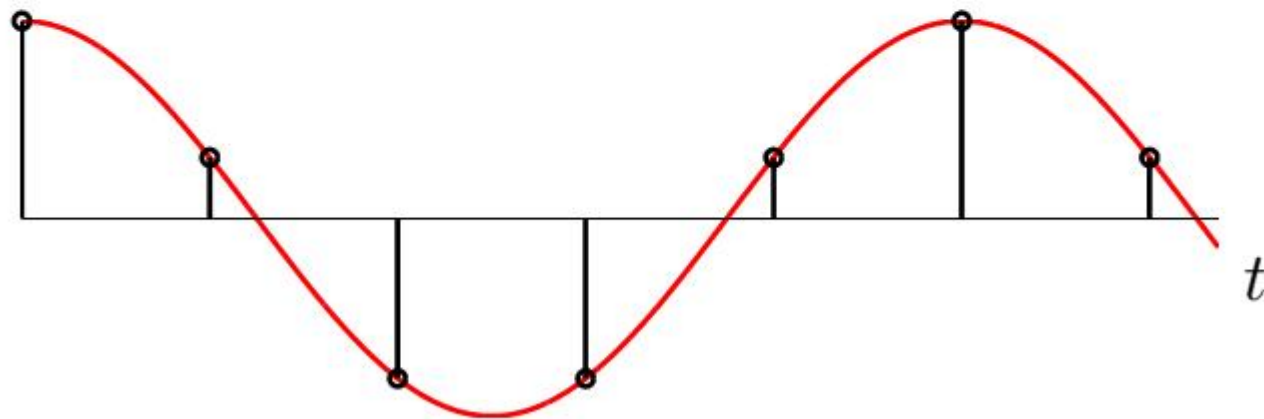




## *Domínio do tempo: Aliasing*

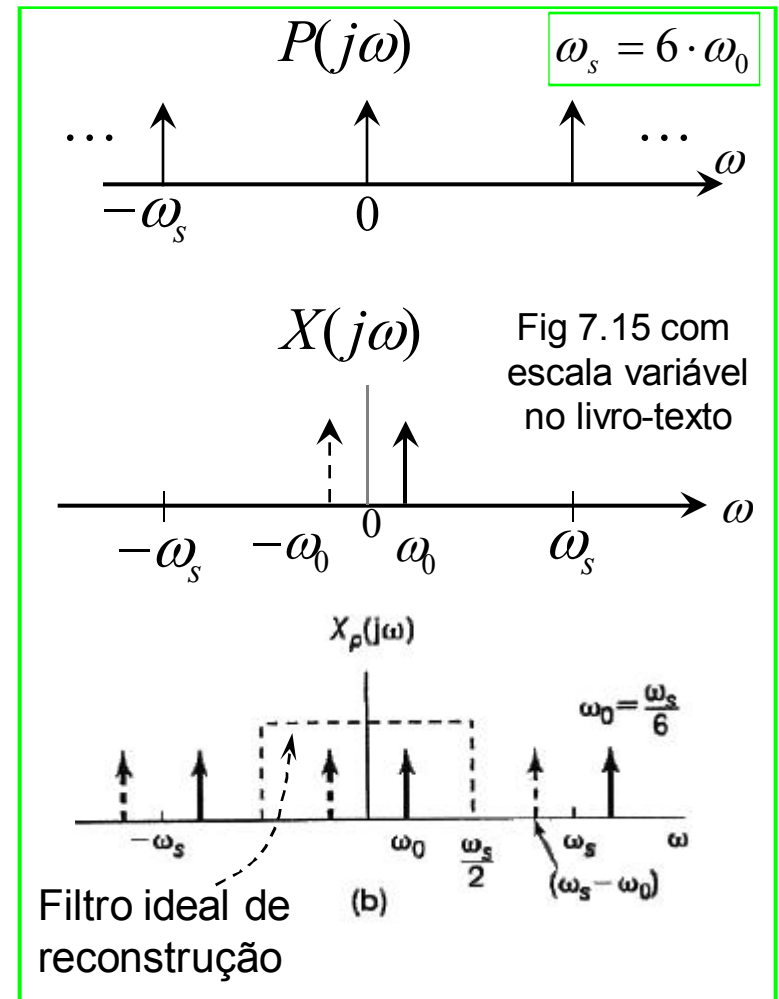
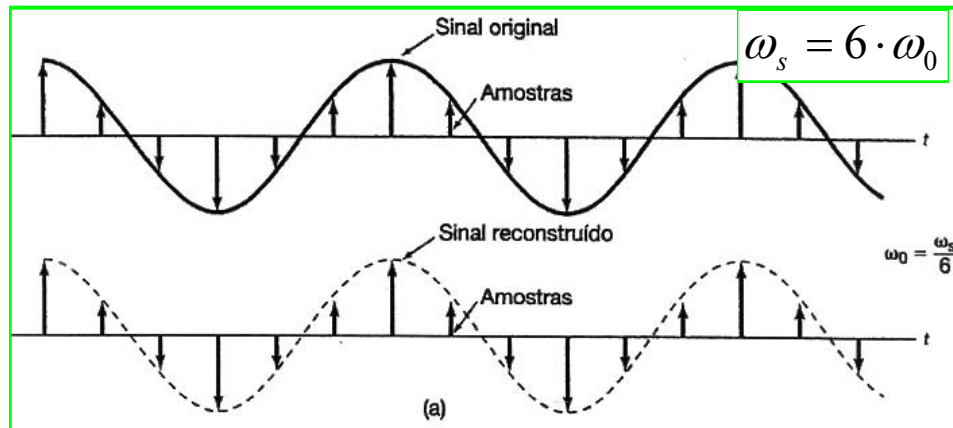
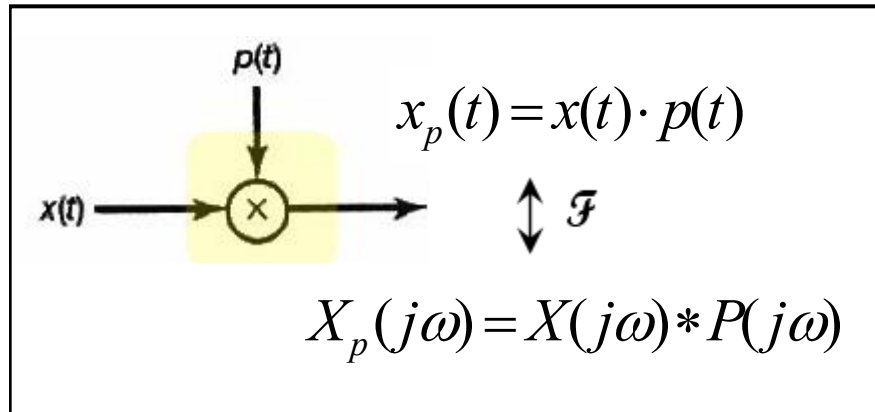


$$\omega_s = 6/5\omega_m$$



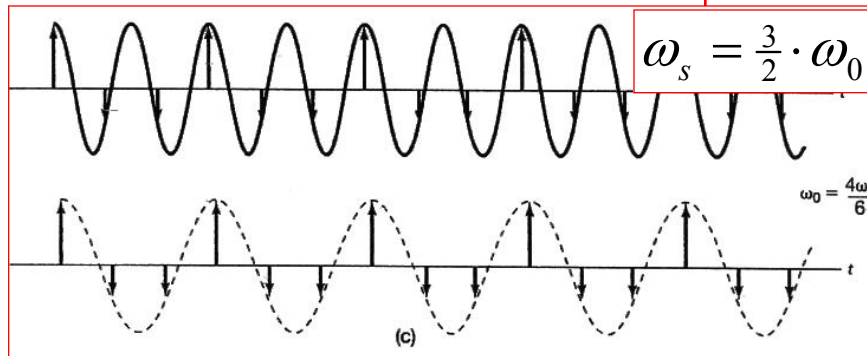
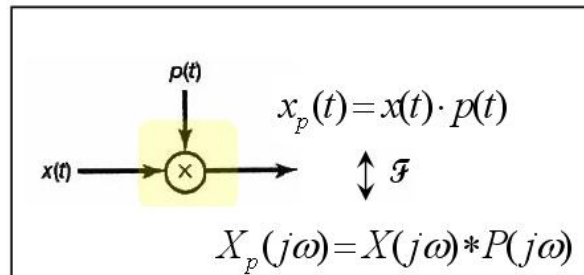
# Aliasing: interpretação no espectro (1/3)

Relembrando:

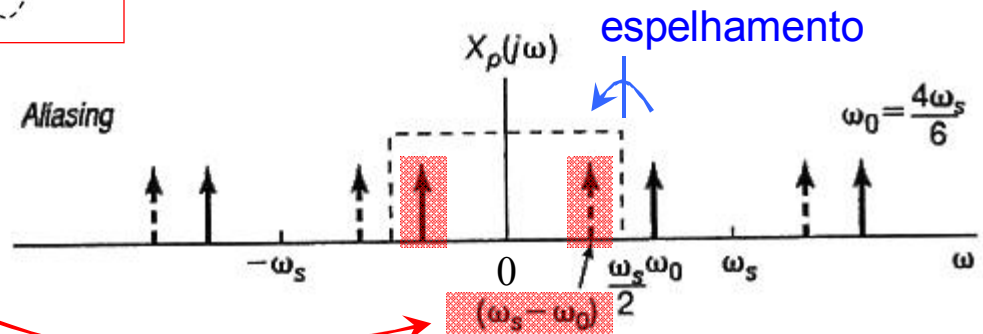
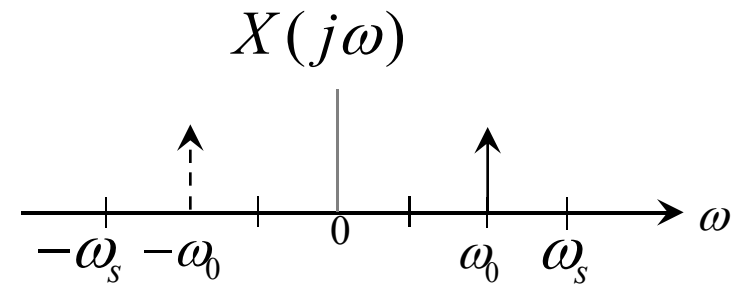
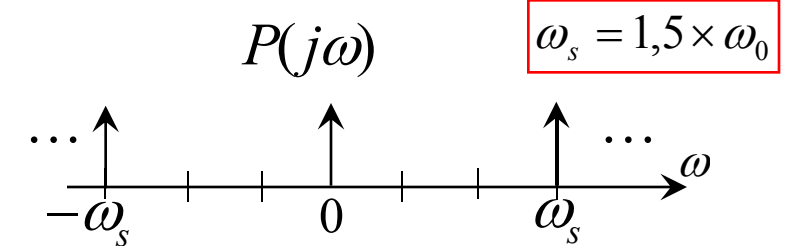


Teorema da Amostragem  $\omega_s > 2\omega_0 \therefore$  para não haver *aliasing*

# Aliasing: interpretação no espectro (2/3)



Frequência no sinal  
reconstruído é  
diferente (menor) que  
no sinal original

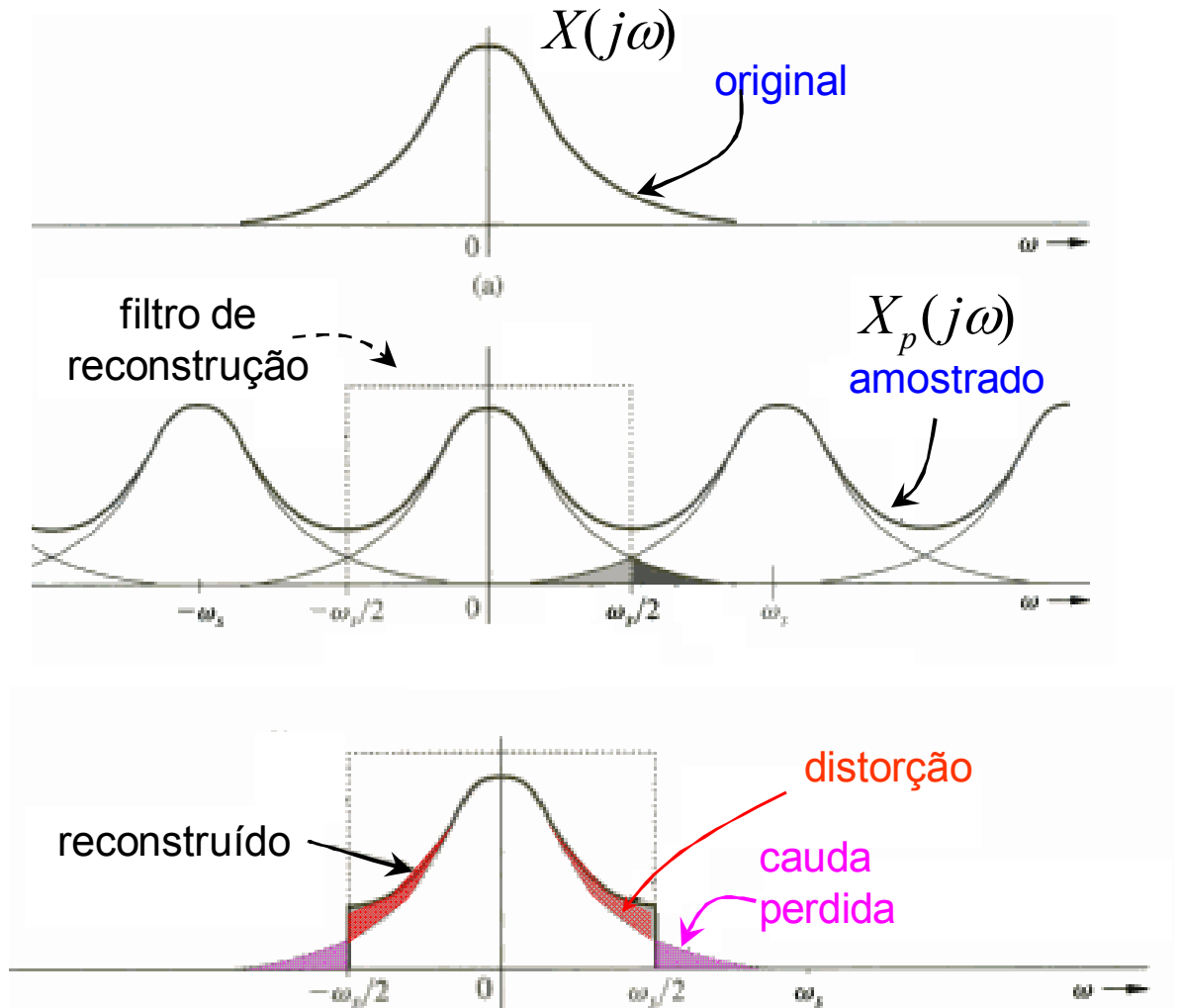


Teorema da Amostragem requer  $\omega_s > 2\omega_0$ : há *aliasing*

# Subamostragem de sinais de banda larga 3/3

Subamostragem  
pode causar:

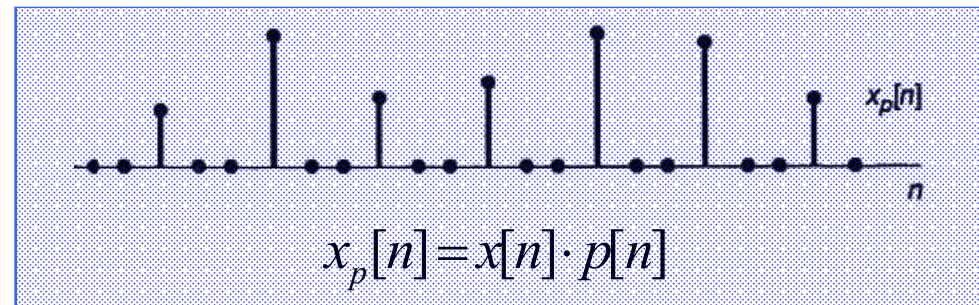
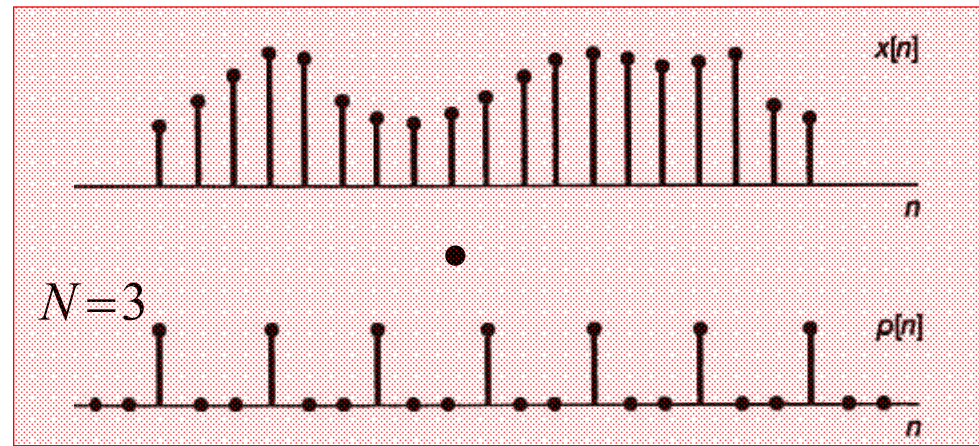
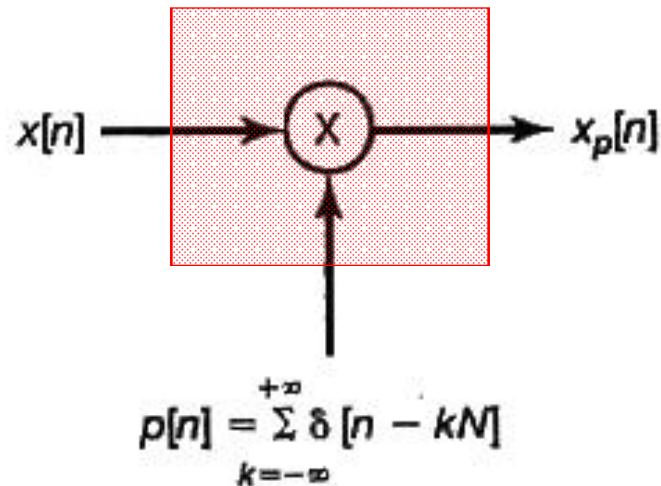
- ❑ Distorção pela sobreposição de partes das réplicas do espectro original
- ❑ Perdas em altas frequências





## 7.5 Amostragem de sinais de tempo discreto 1/2

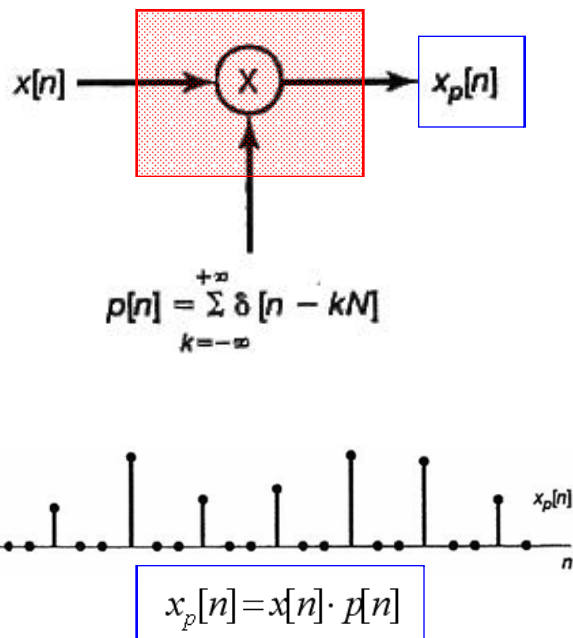
- Análogo à amostragem de sinais de tempo contínuo



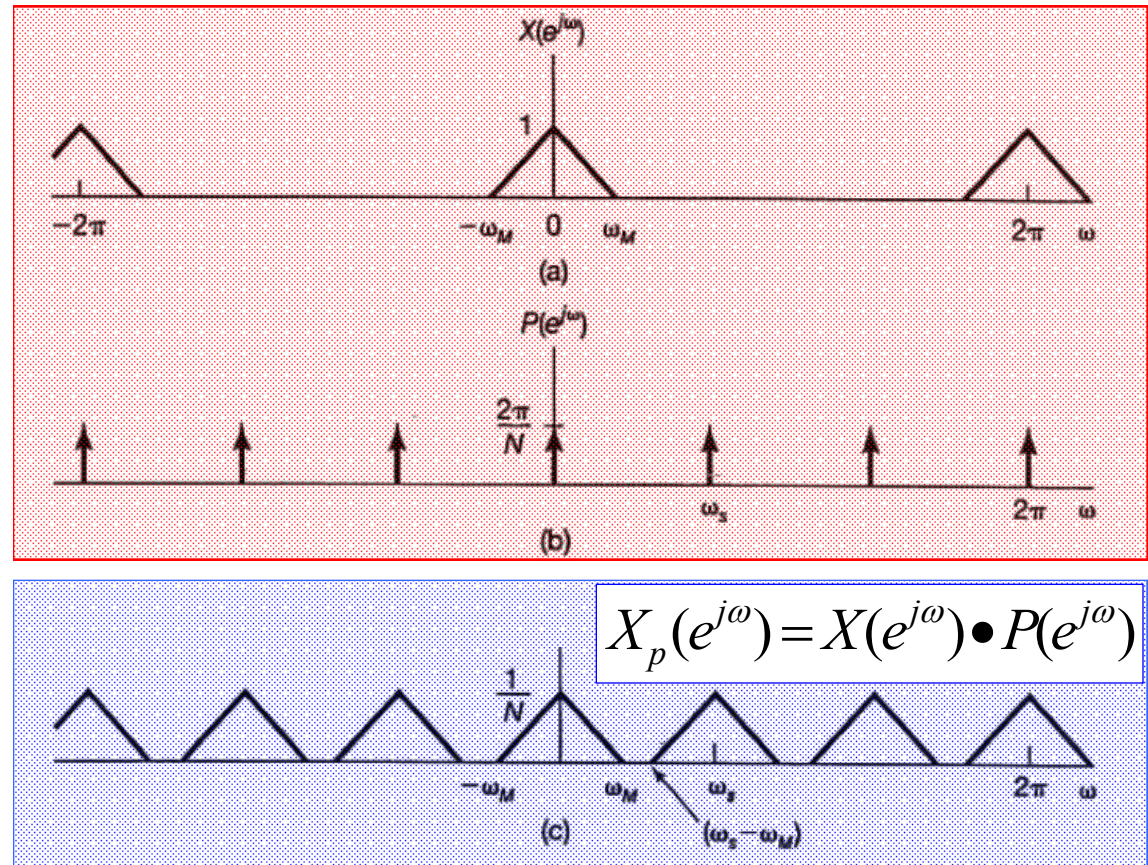
$$x_p[n] = \begin{cases} x[n], & \text{se } n = \text{um inteiro múltiplo de } N \\ 0, & \text{caso contrário} \end{cases}$$

# Amostragem de sinais de tempo discreto

$$x_p[n] = x[n] \cdot p[n]$$



## Interpretação espectral



Teorema da amostragem:  
 $\omega_s > 2\omega_M$  para não ocorrer *aliasing*

$x(t)$  deve estar sobreamostrado

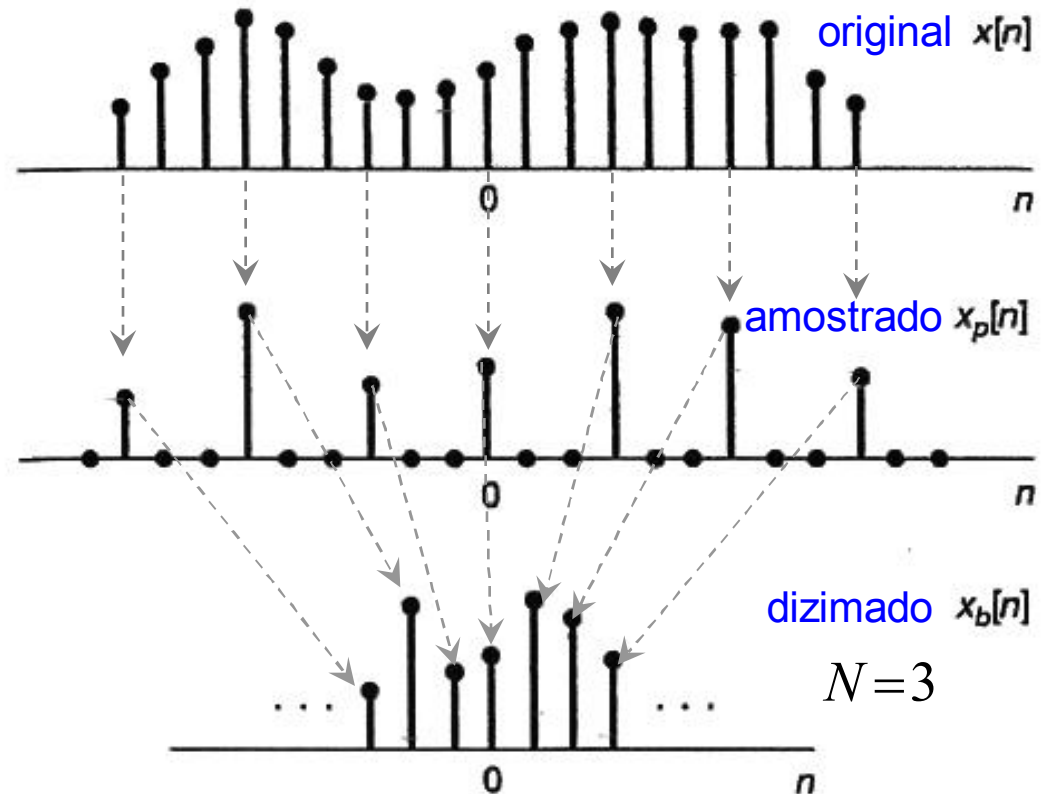


# Dizimação (decimação)

- Amostragem de tempo discreto  $\rightarrow$  amostras nulas
- Armazenamento e/ou transmissão ineficientes
- “Descarte” de amostras nulas: Dizimação

$$x[n] \longrightarrow \boxed{\downarrow N} \longrightarrow x_b[n]$$

Redução de taxa  
(downsampling)

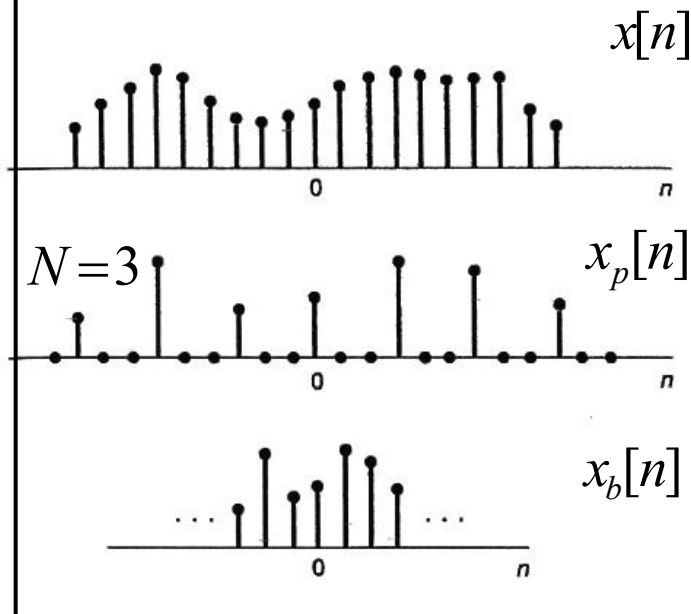


# Dizimação – Interpretação espectral

Qual a relação entre  $X_b(e^{j\omega})$  e  $X(e^{j\omega})$  ?

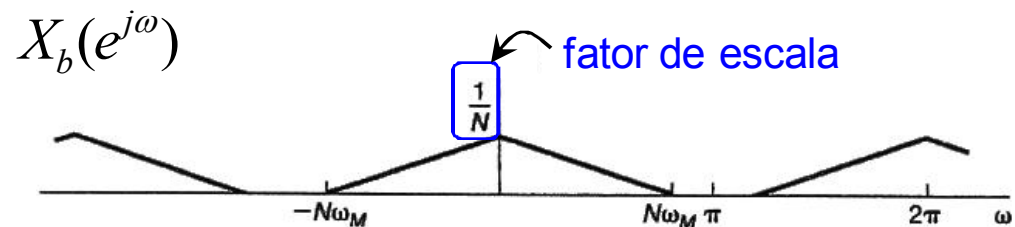
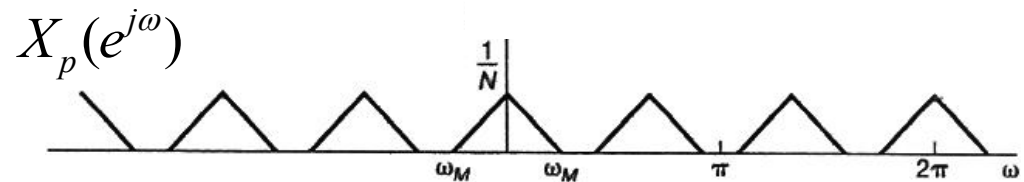
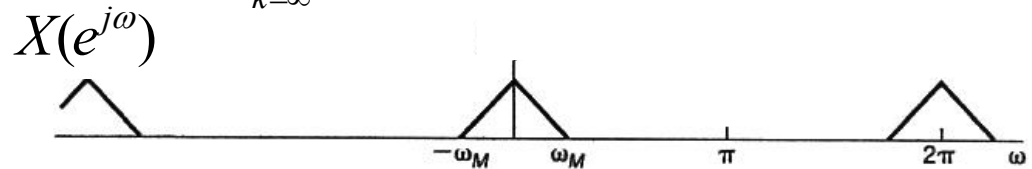
$$x[n] \longrightarrow \boxed{\downarrow N} \longrightarrow x_b[n]$$

$$x_b[n] = x_p[nN] = x[nN]$$



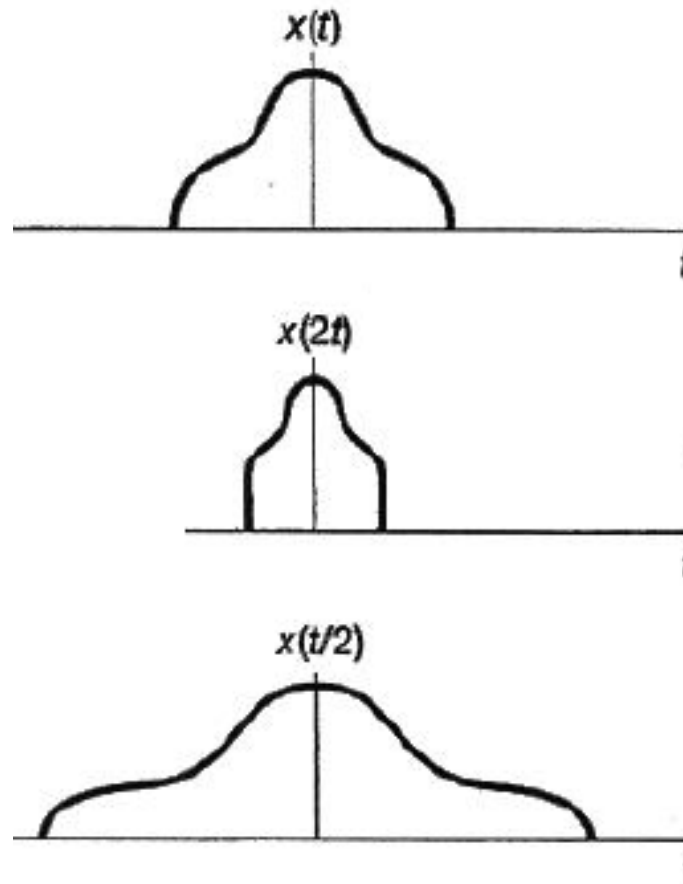
$$\begin{aligned} X_b(e^{j\omega}) &= \sum_{n=-\infty}^{\infty} x_b[n] e^{-j\omega n} = \sum_{n=-\infty}^{\infty} x_p[nN] e^{-j\omega n} \\ &= \sum_{k=-\infty}^{\infty} x_p[k] e^{-j\omega k/N} = X_p(e^{j\omega/N}) \end{aligned}$$

$nN=k$



Dizimação: espalha o espectro do sinal

# Lembrete: mudanças de escala (cap. 1)



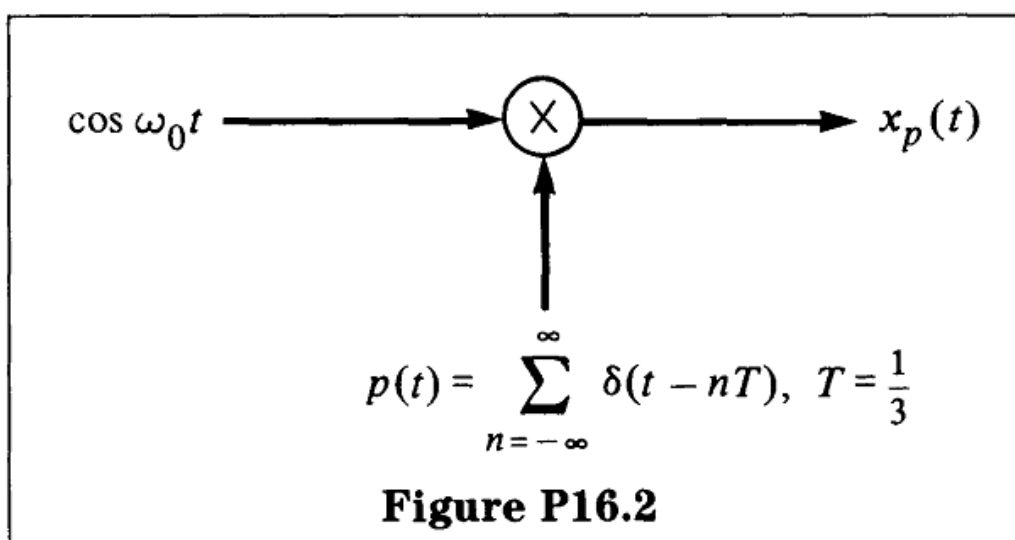
---

# Exercícios (básicos) sugeridos

- 7.1, 7.2, 7.3, 7.4

**P16.2**

Consider the system in Figure P16.2.



(a) Sketch  $X_p(\omega)$  for  $-9\pi \leq \omega \leq 9\pi$  for the following values of  $\omega_0$ .

- (i)  $\omega_0 = \pi$
- (ii)  $\omega_0 = 2\pi$
- (iii)  $\omega_0 = 3\pi$
- (iv)  $\omega_0 = 5\pi$

(b) For which of the preceding values of  $\omega_0$  is  $x_p(t)$  identical?

## S16.2

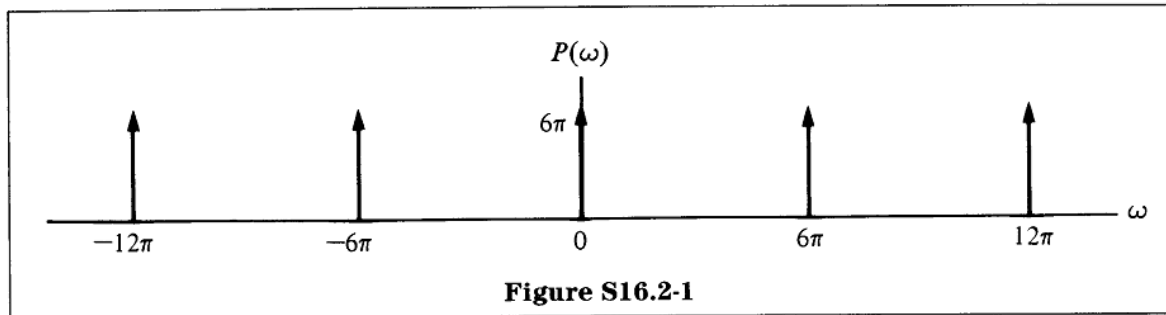
The sampling function

$$p(t) = \sum_{n=-\infty}^{\infty} \delta(t - nT), \quad T = \frac{1}{3},$$

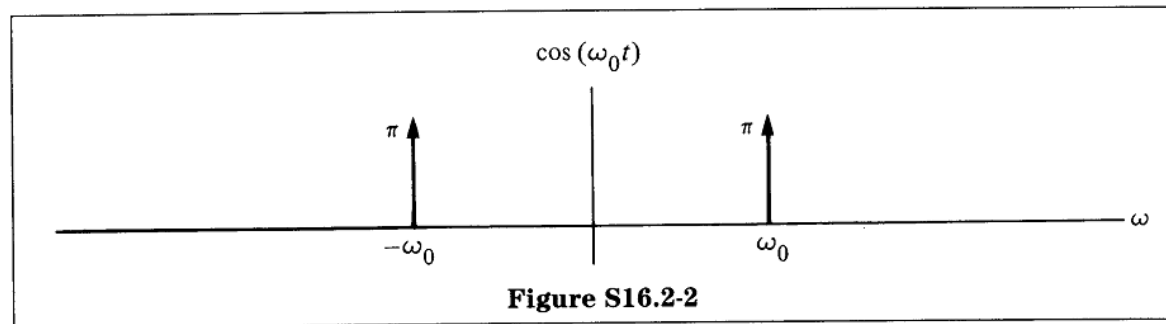
has a spectrum given by

$$\begin{aligned} P(\omega) &= \frac{2\pi}{T} \sum_{n=-\infty}^{\infty} \delta\left(\omega - \frac{2\pi n}{T}\right) \\ &= 6\pi \sum_{n=-\infty}^{\infty} \delta(\omega - 6\pi n), \end{aligned}$$

shown in Figure S16.2-1.



$\cos(\omega_0 t)$  has a spectrum given by  $\pi\delta(\omega - \omega_0) + \pi\delta(\omega + \omega_0)$ , shown in Figure S16.2-2.

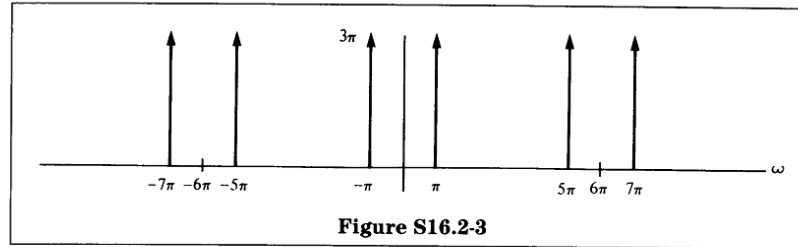


From the convolution theorem

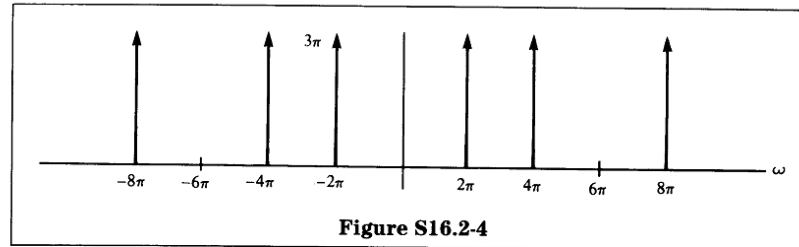
$$X_p(\omega) = \frac{1}{2\pi} P(\omega) * [\pi\delta(\omega - \omega_0) + \pi\delta(\omega + \omega_0)]$$

Hence, it is straightforward to find  $X_p(\omega)$ .

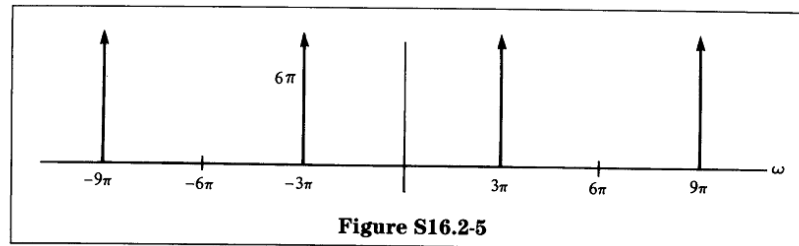
(a) (i) For  $\omega_0 = \pi$ :



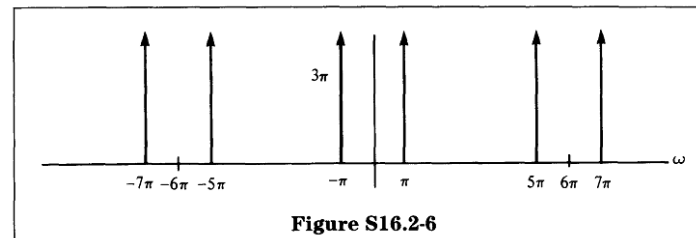
(ii) For  $\omega_0 = 2\pi$ :



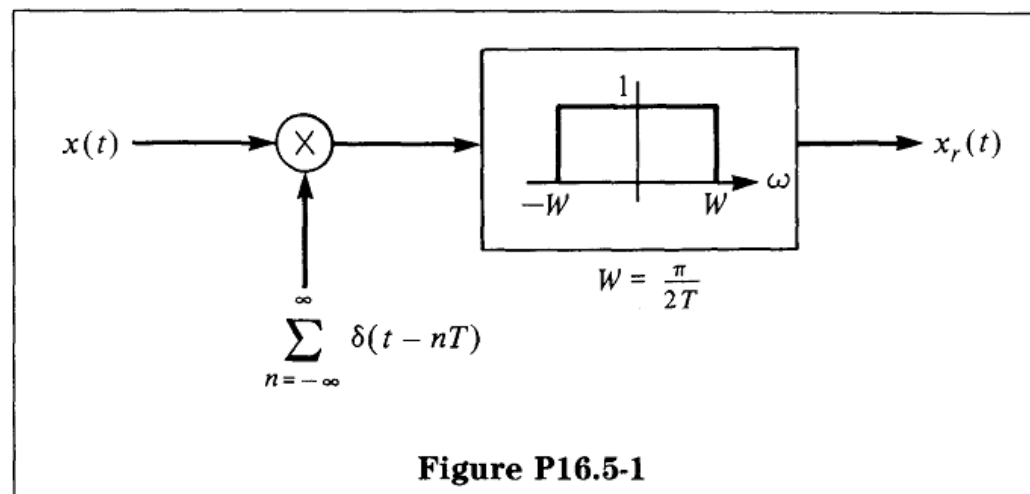
(iii) For  $\omega_0 = 3\pi$ :



(iv) For  $\omega_0 = 5\pi$ :

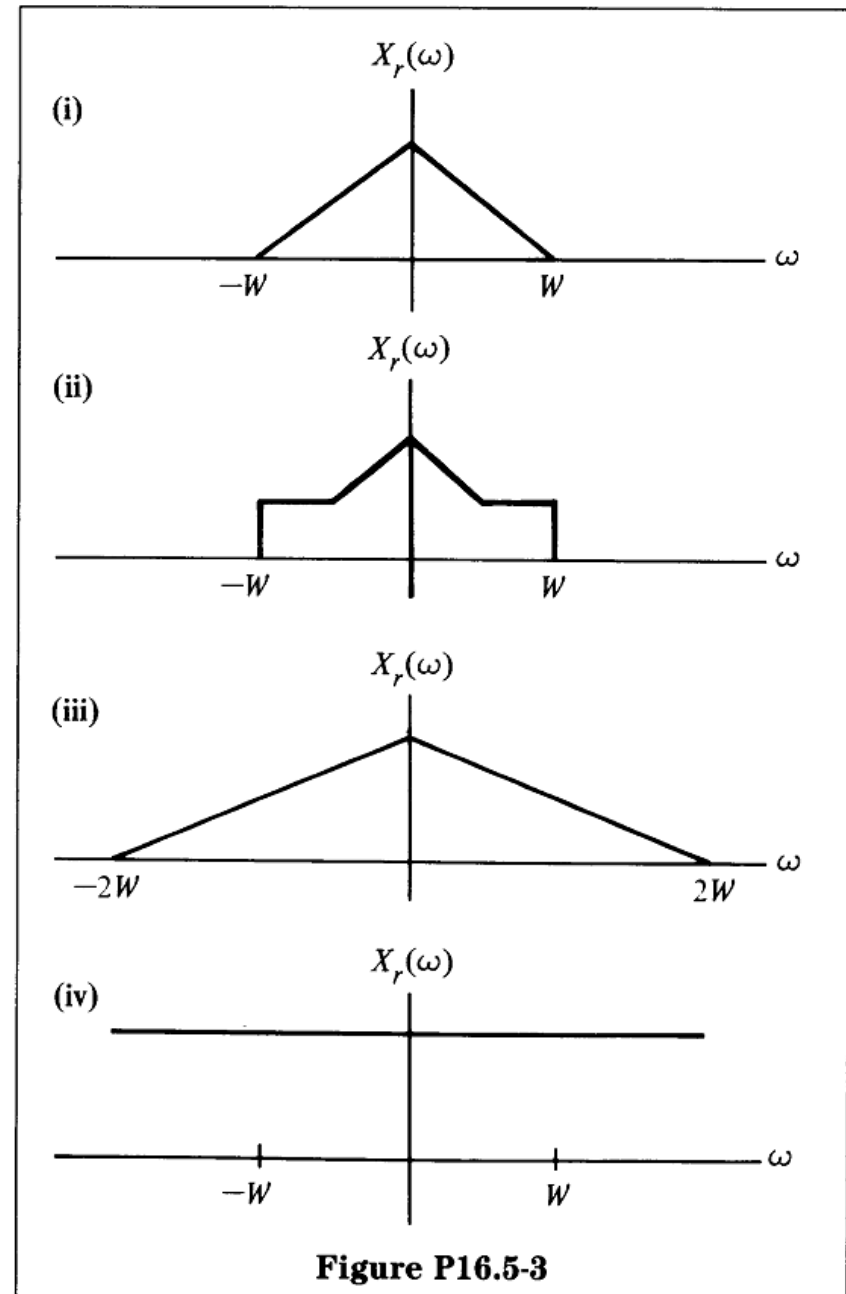
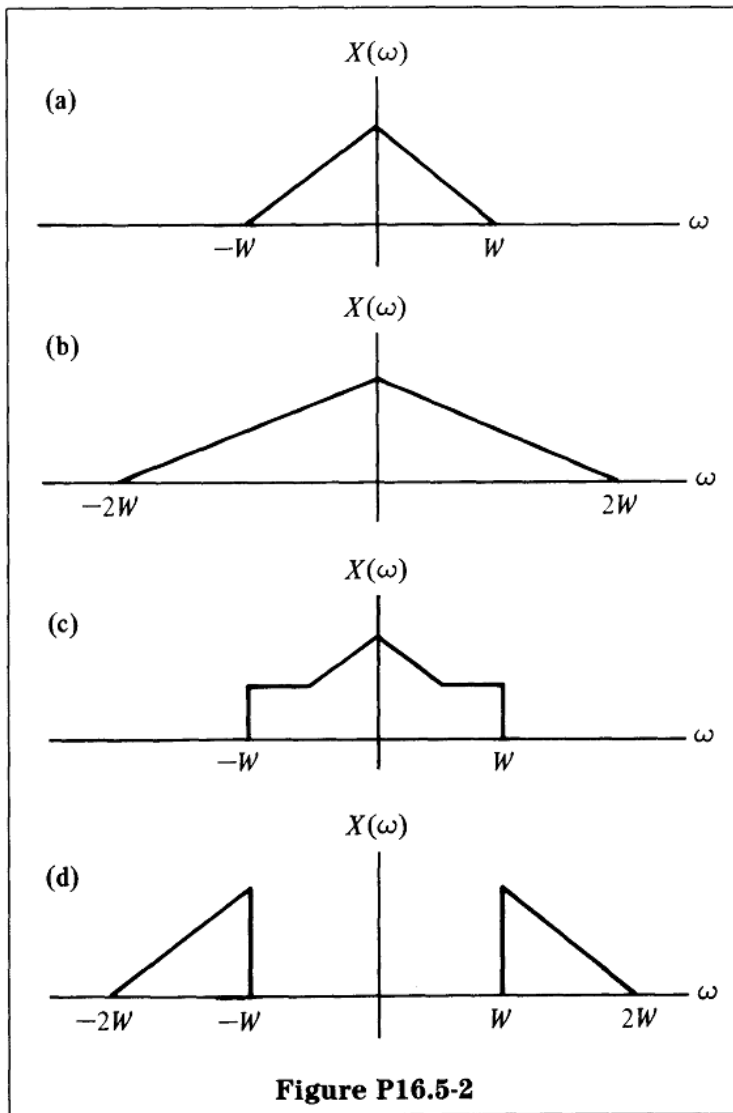


Consider the system in Figure P16.5-1.



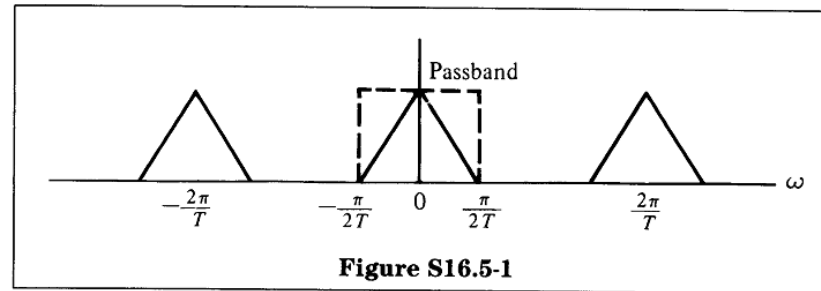
Figures P16.5-2 and P16.5-3 contain several Fourier transforms of  $x(t)$  and  $x_r(t)$ . For each input spectrum  $X(\omega)$  in Figure P16.5-2, identify the correct output spectrum  $X_r(\omega)$  from Figure P16.5-3.





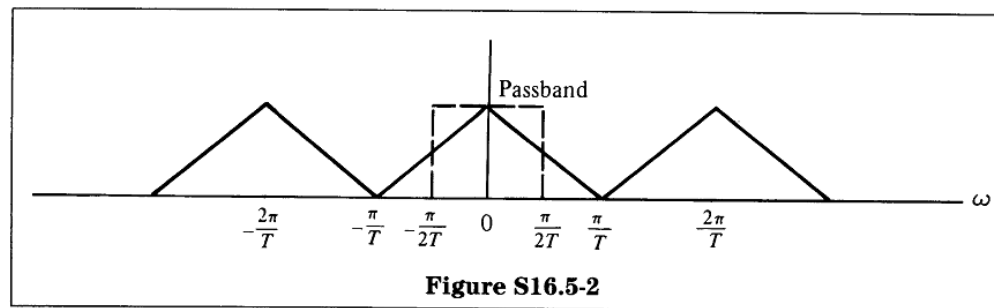
### S16.5

(a) The transform of the sampled function appears as in Figure S16.5-1.



Hence, (a) matches (i).

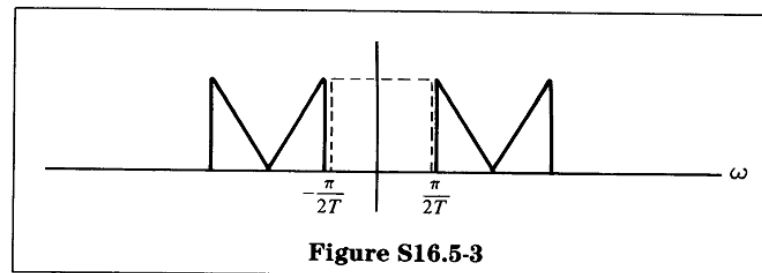
(b)



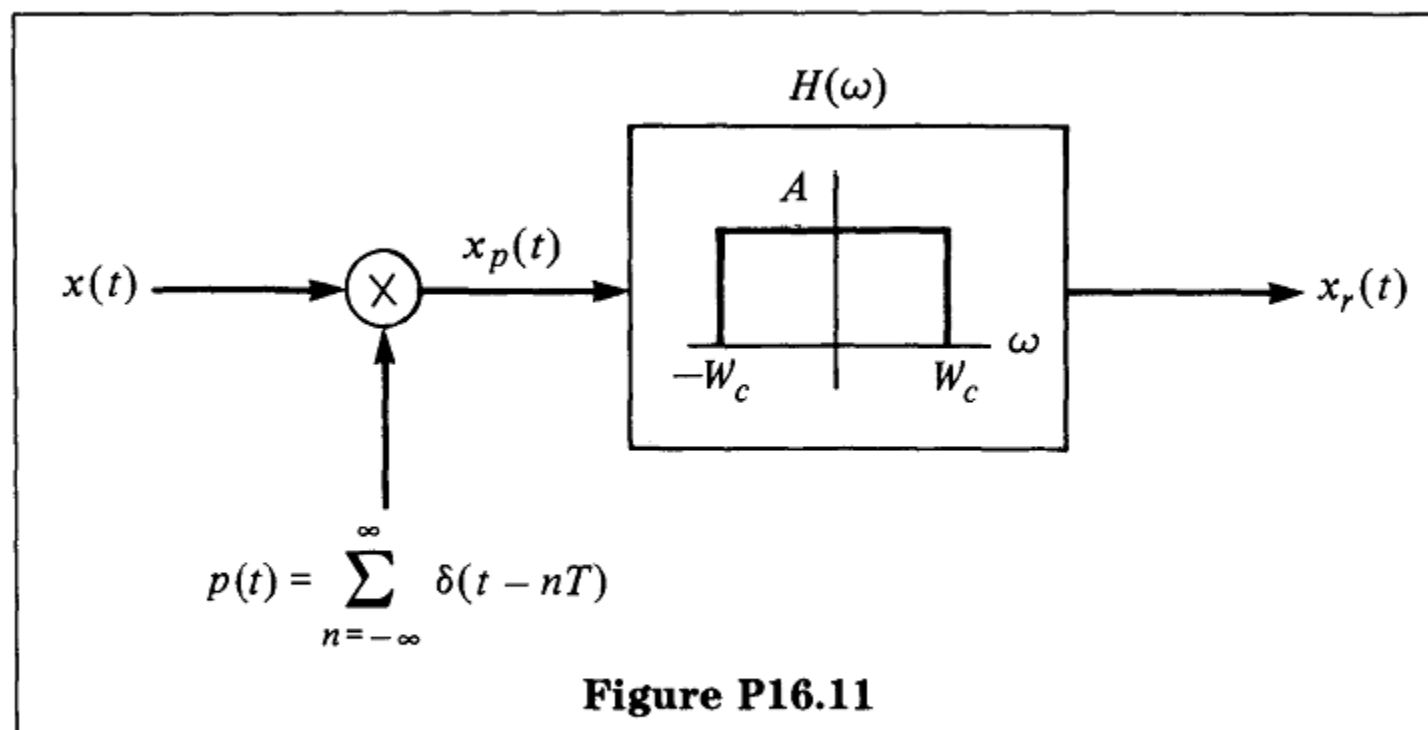
Hence, (b) does not match any.

(c) Matches (ii).

(d)



Hence, (d) does not match any.



- (a) If  $X(\omega) = 0$  for  $|\omega| > W$ , find the maximum value of  $T$ ,  $W_c$ , and  $A$  such that  $x_r(t) = x(t)$ .

---

(a) From the sampling theorem,  $2\pi/T \geq 2W$ . Hence,

$$T \leq \frac{\pi}{W} \rightarrow T_{\max} = \frac{\pi}{W}$$

Since

$$X_p(\omega) = \frac{1}{T} \sum_{k=-\infty}^{\infty} X\left(\omega - k \frac{2\pi}{T}\right),$$

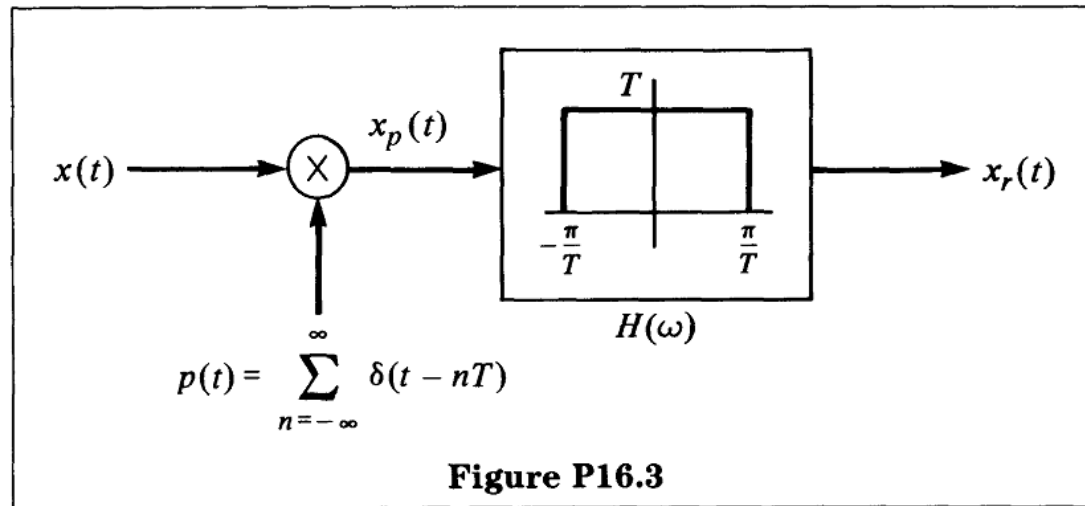
we require  $A = T$  for  $x_r(t) = x(t)$ .

The minimum value of  $W_c$  is  $W$  so that we do not lose any information, and the maximum value of  $W_c$  is  $(2\pi/T) - W$  to avoid periodic spectral contribution.

---

**P16.3**

In the system in Figure P16.3,  $x(t)$  is sampled with a periodic impulse train, and a reconstructed signal  $x_r(t)$  is obtained from the samples by lowpass filtering.



The sampling period  $T$  is 1 ms, and  $x(t)$  is a sinusoidal signal of the form  $x(t) = \cos(2\pi f_0 t + \theta)$ . For each of the following choices of  $f_0$  and  $\theta$ , determine  $x_r(t)$ .

- (a)  $f_0 = 250$  Hz,  $\theta = \pi/4$
- (b)  $f_0 = 750$  Hz,  $\theta = \pi/2$
- (c)  $f_0 = 500$  Hz,  $\theta = \pi/2$

The signal  $x(t) = \cos(\omega_0 t + \theta)$ , where  $\omega_0 = 2\pi f_0$ , can be written as

$$x(t) = \frac{1}{2}e^{j\theta}e^{j\omega_0 t} + \frac{1}{2}e^{-j\theta}e^{-j\omega_0 t}$$

and the spectrum of  $x(t)$  is given by

$$X(\omega) = \pi e^{j\theta}\delta(\omega - \omega_0) + \pi e^{-j\theta}\delta(\omega + \omega_0)$$

The spectrum of  $p(t)$  is given by

$$P(\omega) = \frac{2\pi}{T} \sum_{k=-\infty}^{\infty} \delta\left(\omega - \frac{2\pi k}{T}\right)$$

Therefore, the spectrum of  $x_p(t)$  is

$$X_p(\omega) = \frac{1}{2\pi} \left( \frac{2\pi^2}{T} \right) \left[ \sum_{k=-\infty}^{\infty} e^{j\theta}\delta\left(\omega - \frac{2\pi k}{T} - \omega_0\right) + e^{-j\theta}\delta\left(\omega - \frac{2\pi k}{T} + \omega_0\right) \right]$$

and the spectrum of  $X_r(\omega)$  is given by

$$X_r(\omega) = H(\omega)X_p(\omega)$$

$$(a) \quad \omega_0 = 2\pi \times 250, \quad \theta = \frac{\pi}{4}, \quad T = 10^{-3},$$

$$X_p(\omega) = \frac{\pi}{T} \sum_{k=-\infty}^{\infty} [e^{j\theta}\delta(\omega - 2\pi \times 10^3 k - 2\pi \times 250) + e^{-j\theta}\delta(\omega - 2\pi \times 10^3 k + 2\pi \times 250)]$$

Hence, only the  $k = 0$  term is passed by the filter:

$$X_r(\omega) = \pi[e^{j\theta}\delta(\omega - 2\pi \times 250) + e^{-j\theta}\delta(\omega + 2\pi \times 250)]$$

and

$$\begin{aligned} x_r(t) &= \frac{1}{2}e^{j\theta}e^{j2\pi \times 250t} + \frac{1}{2}e^{-j\theta}e^{-j2\pi \times 250t} \\ &= \cos(2\pi \times 250t + \theta) \\ &= \cos\left(2\pi \times 250t + \frac{\pi}{4}\right) \end{aligned}$$

$$(b) \quad \omega_0 = 2\pi \times 750 \text{ Hz}, \quad T = 10^{-3},$$

$$X_p(\omega) = \frac{\pi}{T} \sum_{k=-\infty}^{\infty} [e^{j\theta}\delta(\omega - 2\pi \times 10^3 k - 2\pi \times 750) + e^{-j\theta}\delta(\omega - 2\pi \times 10^3 k + 2\pi \times 750)]$$

Only the  $k = \pm 1$  term has nonzero contribution:

$$X_r(\omega) = \frac{\pi}{T} [e^{j\theta}\delta(\omega + 2\pi \times 250) + e^{-j\theta}\delta(\omega - 2\pi \times 250)]$$

Hence,

$$\begin{aligned} x_r(t) &= \cos(2\pi \times 250t - \theta) \\ &= \cos\left(2\pi \times 250t - \frac{\pi}{2}\right) \end{aligned}$$

$$(c) \quad \omega_0 = 2\pi \times 500, \quad \theta = \frac{\pi}{2}, \quad T = 10^{-3},$$

$$X_p(\omega) = \frac{\pi}{T} \sum_{k=-\infty}^{\infty} [e^{j\theta}\delta(\omega - 2\pi \times 10^3 k - 2\pi \times 500) + e^{-j\theta}\delta(\omega - 2\pi \times 10^3 k + 2\pi \times 500)]$$

Since  $H(\omega) = 0$  at  $\omega = 2\pi \times 500$ , the output is zero:  $x_r(t) = 0$ .